



# Physique et Imagerie Médicale

Paul Lecoq  
CERN, Genève

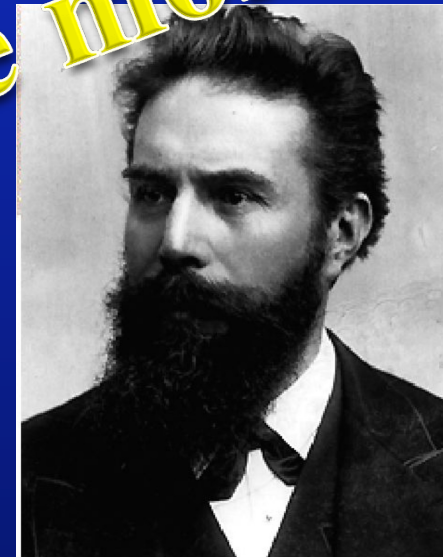
# La découverte des Rayons-X



• Le 8 November 1895 Röntgen découvre les Rayons X

• Le 22 November 1895 prend le premier cliché de la main de sa femme

500'000'000  
d'examens RX  
chaque année dans le monde



Röntgen obtient le 1<sup>er</sup> prix Nobel de physique en 1901



# Premières applications dans la thérapie du cancer

STOCKHOLM



1902

1912

**Basic concept**  
**Local control  
of the tumour**



**1908 : first attempts of skin cancer  
radiation therapy in France  
("Curietherapy")**



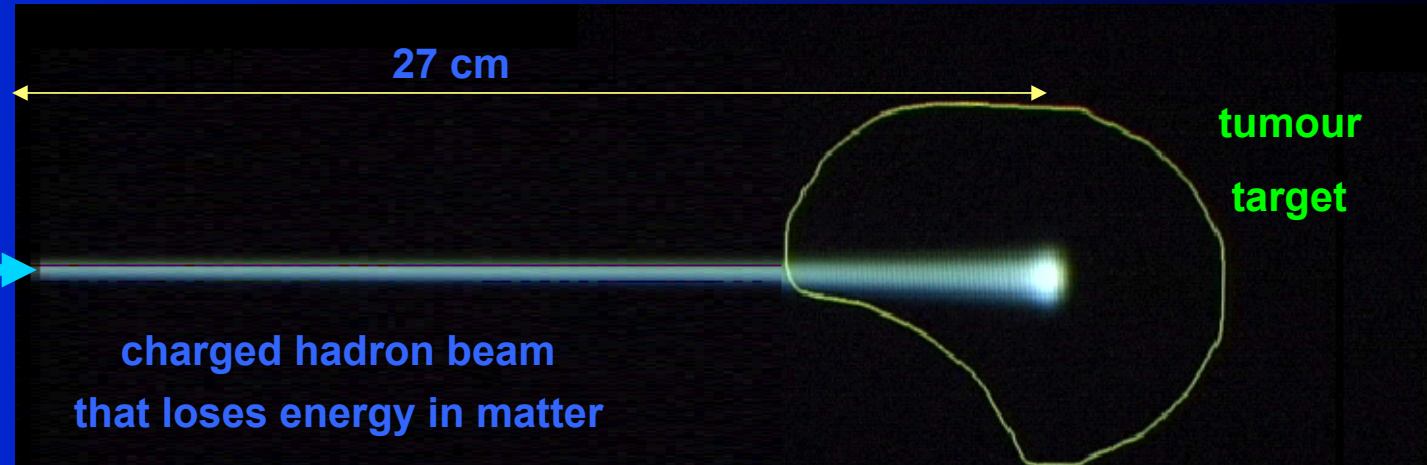
# Hadrontherapy accelerators the rationale



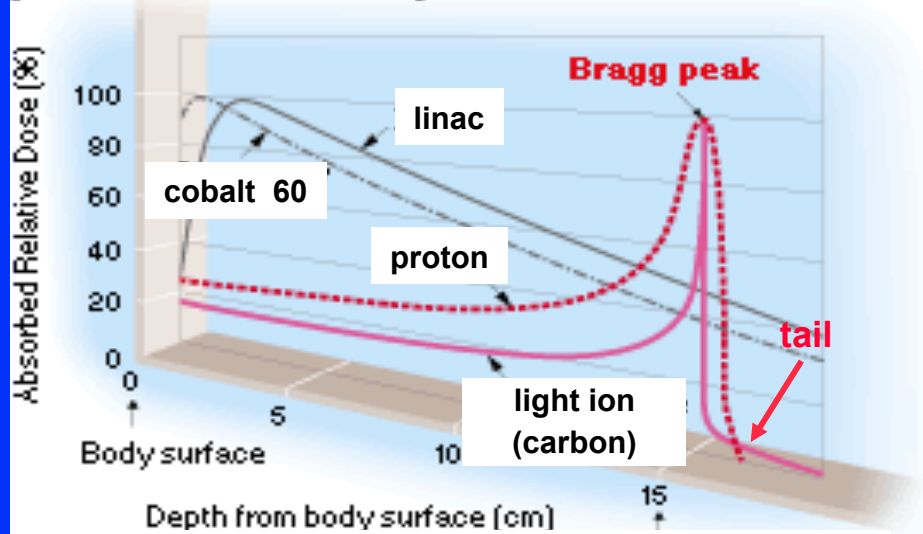
200 MeV - 1 nA  
protons

4800 MeV - 0.1 nA  
carbon ions

which can control  
radioresistant  
tumours



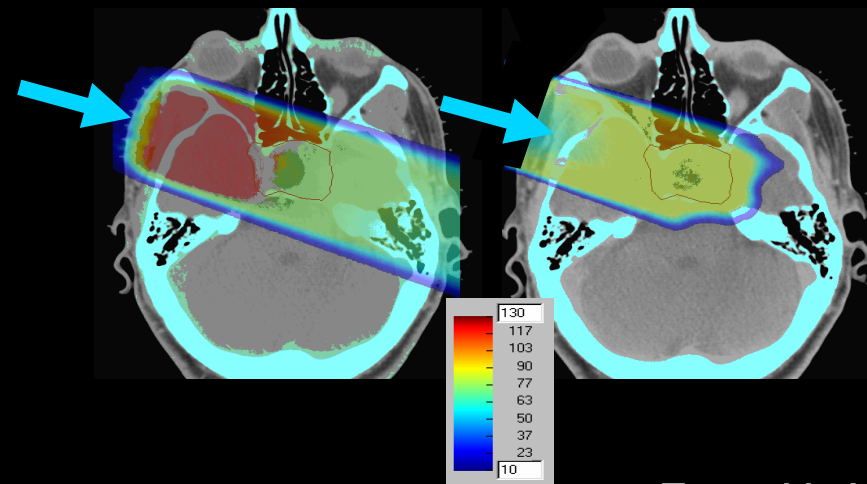
[Dose Distribution Curve]



[http://global.mitsubishielectric.com/bu/particlebeam/index\\_b.html](http://global.mitsubishielectric.com/bu/particlebeam/index_b.html)

X rays

protons or carbon ions





# Summary of accelerators running in the world



CATEGORY OF ACCELERATORS	NUMBER IN USE (*)
High Energy acc. ( $E > 1\text{GeV}$ )	~120
Synchrotron radiation sources	>100
<u>Medical radioisotope production</u>	<u>~200</u>
<u>Radiotherapy accelerators</u>	> 7500
<u>Research acc. included biomedical research</u>	<u>~1000</u>
Acc. for industrial processing and research	~1500
Ion implanters, surface modification	>7000
TOTAL	<u>&gt; 17500</u>

} 9000

(\*) W. Maciszewski and W. Scharf: Int. J. of Radiation Oncology, 2004

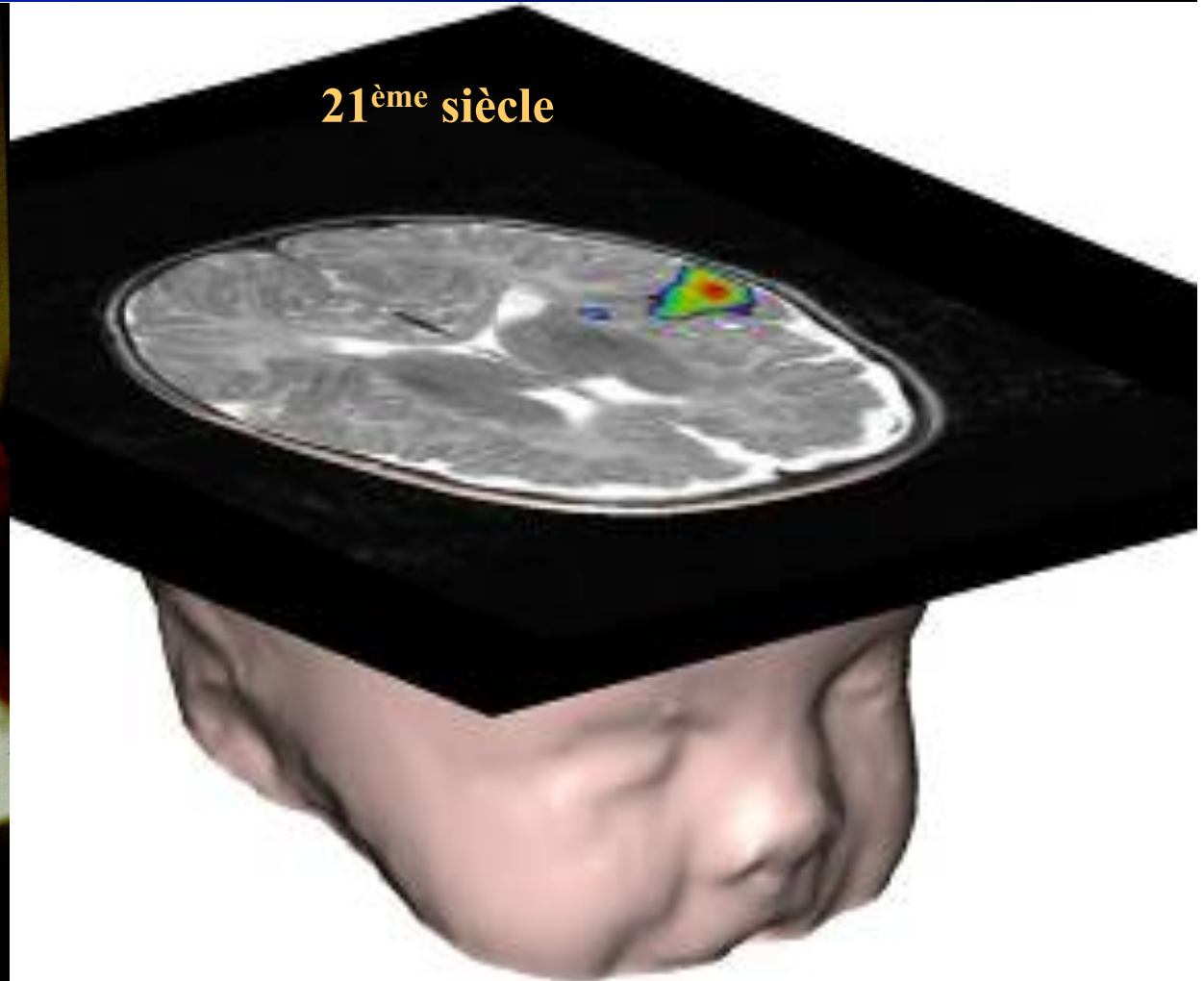


# Petite histoire résumée de l'imagerie in-vivo

20<sup>ème</sup> siècle

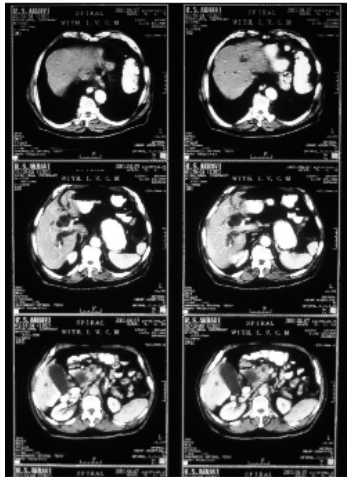


21<sup>ème</sup> siècle



**De moins en moins invasive**





**CT**

**A** Tissue Density, Z  
20-50  $\mu\text{m}$

**Ultrasound**

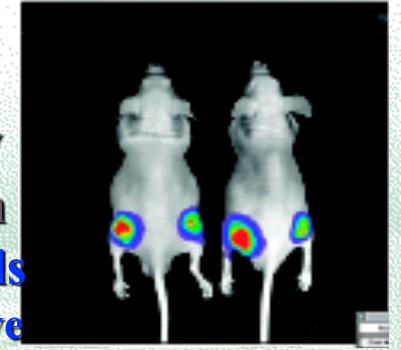


**A** **F**  
Structure  
0.1 mm  
**Doppler**

**Optical**  
(Bioluminescence, fluorescence)

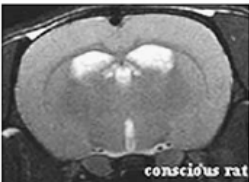
**A** **M**

Topography  
 $\mu\text{m}$  to mm  
 $\sim 10^3$  cells  
 $\neq$  quantitative

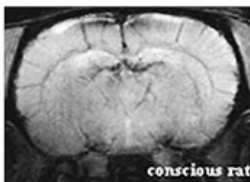


**Photons involved**

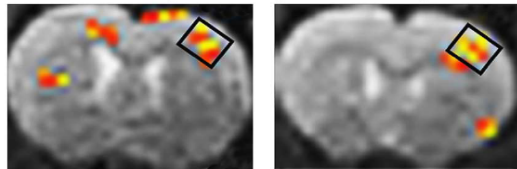
4.7T, Dual Coil, Coil, T1 Weighted SE



4.7T, Dual Coil, T2 Weighted GE



Activational Maps of Primary Somatosensory Cortex



**MRI**

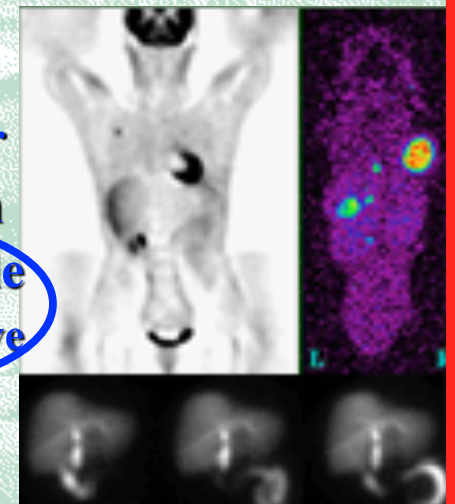
**A** **F** **M**

H Concentration  
0.1 mm  
**BOLD, DCE**  
 $\beta$ -galactocidase  
0.1  $\mu\text{mole H} / \mu\text{mole } ^{31}\text{P}$

**PET/SPECT**

**F** **M**

Radiotracer  
 $\sim 1-2$  mm  
 $< 10^{-12}$  mole  
**= quantitative**

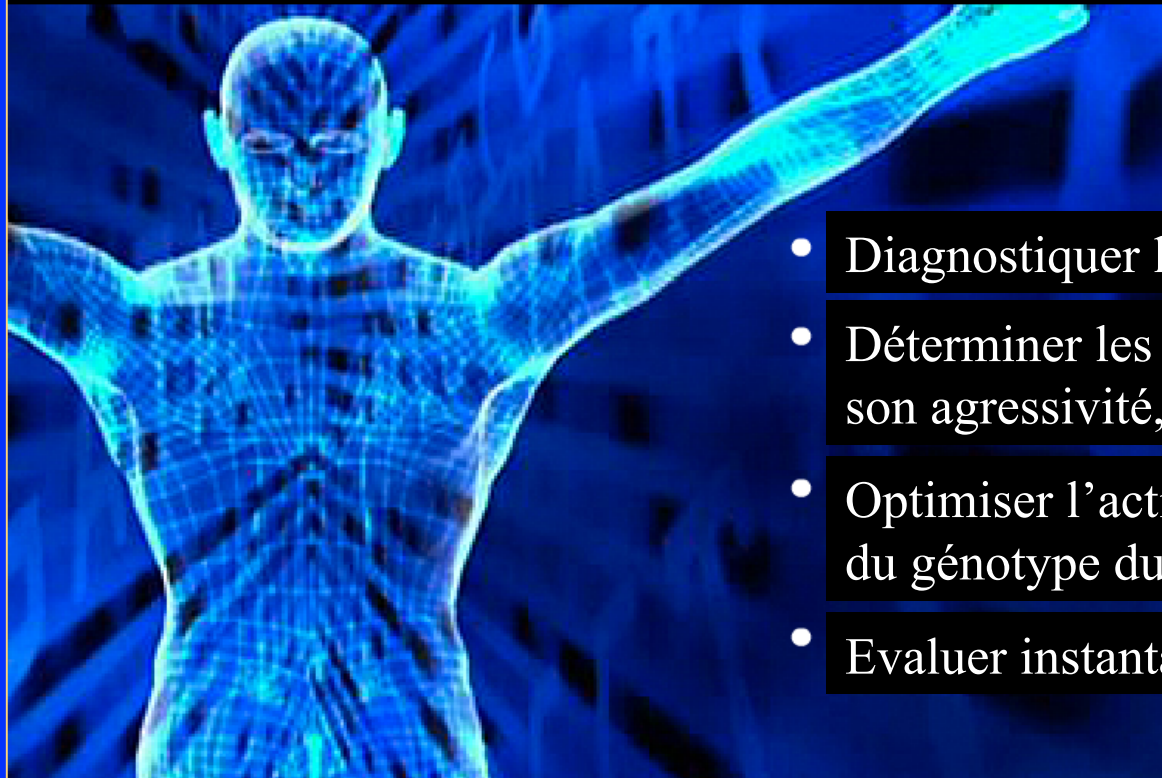




# L'imagerie pour une meilleure prise en charge du patient



Recueillir une information détaillée de chaque individu pour:



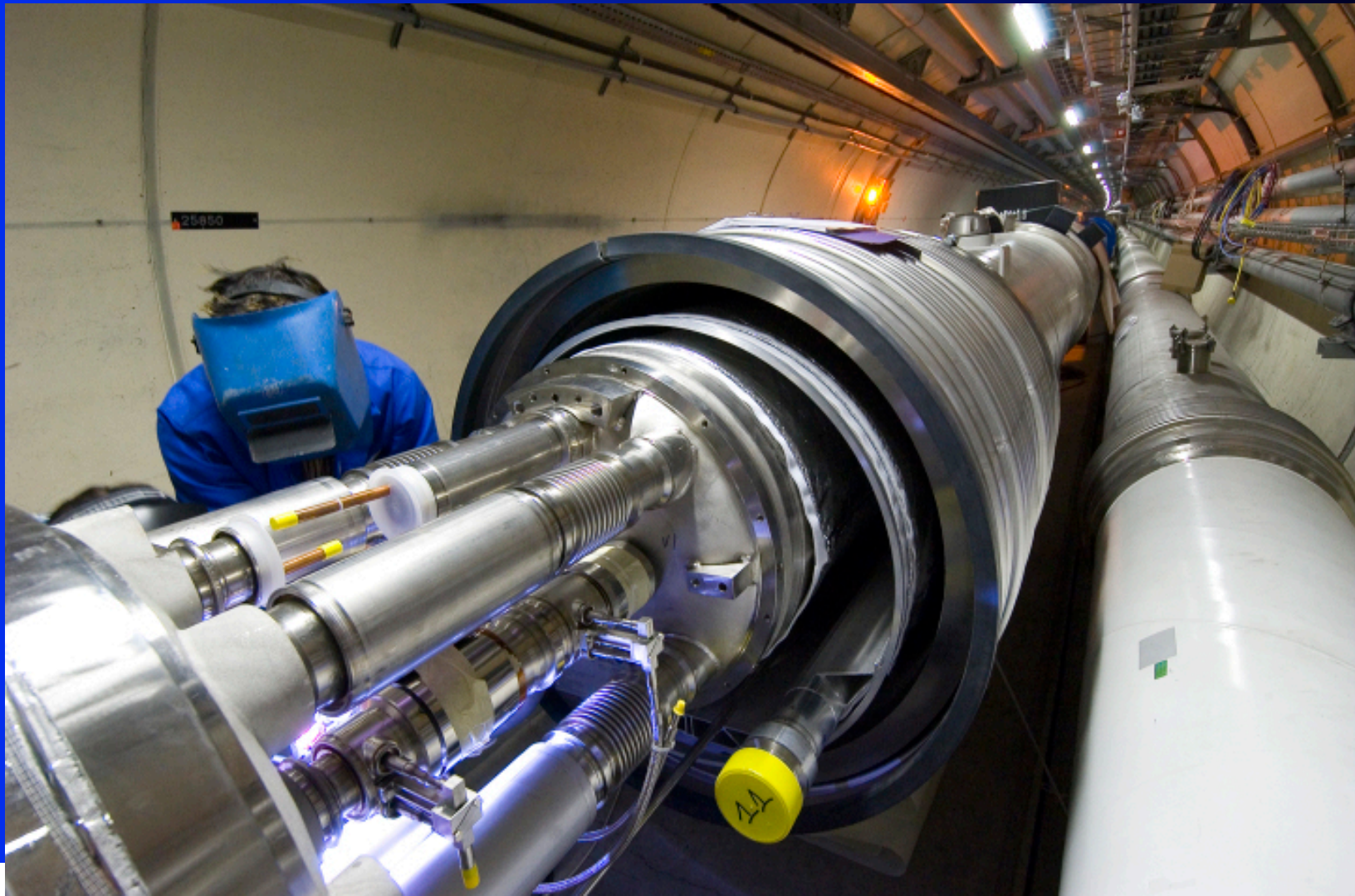
- Diagnostiquer la maladie à un stade précoce
- Déterminer les paramètres de la maladie, comme son agressivité, son potentiel métastatique
- Optimiser l'action thérapeutique en fonction du génotype du patient
- Evaluer instantanément l'efficacité du traitement

***Implique une nouvelle génération  
de systèmes d'imagerie***





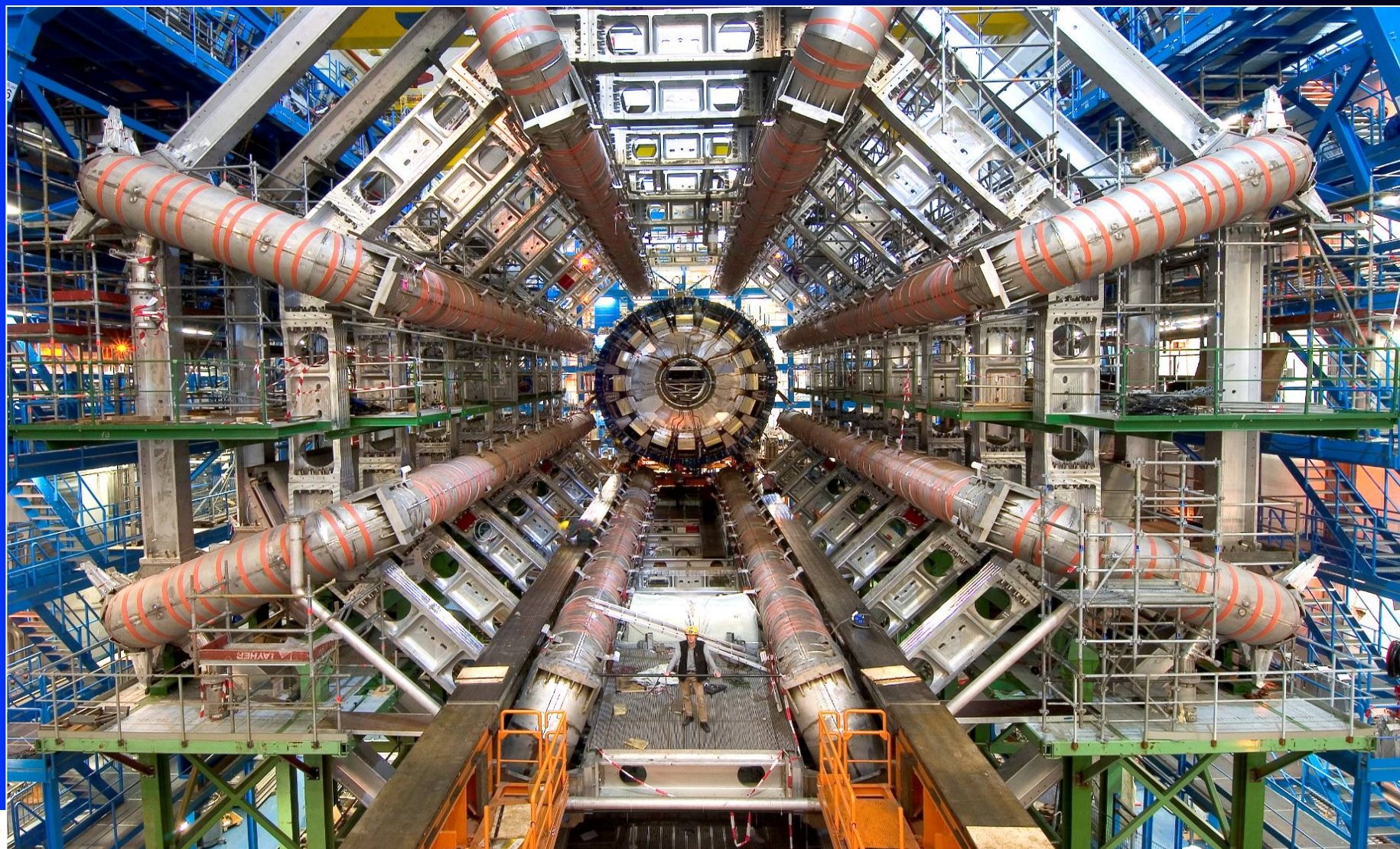
# LHC - Installation des aimants supraconducteurs (27km)







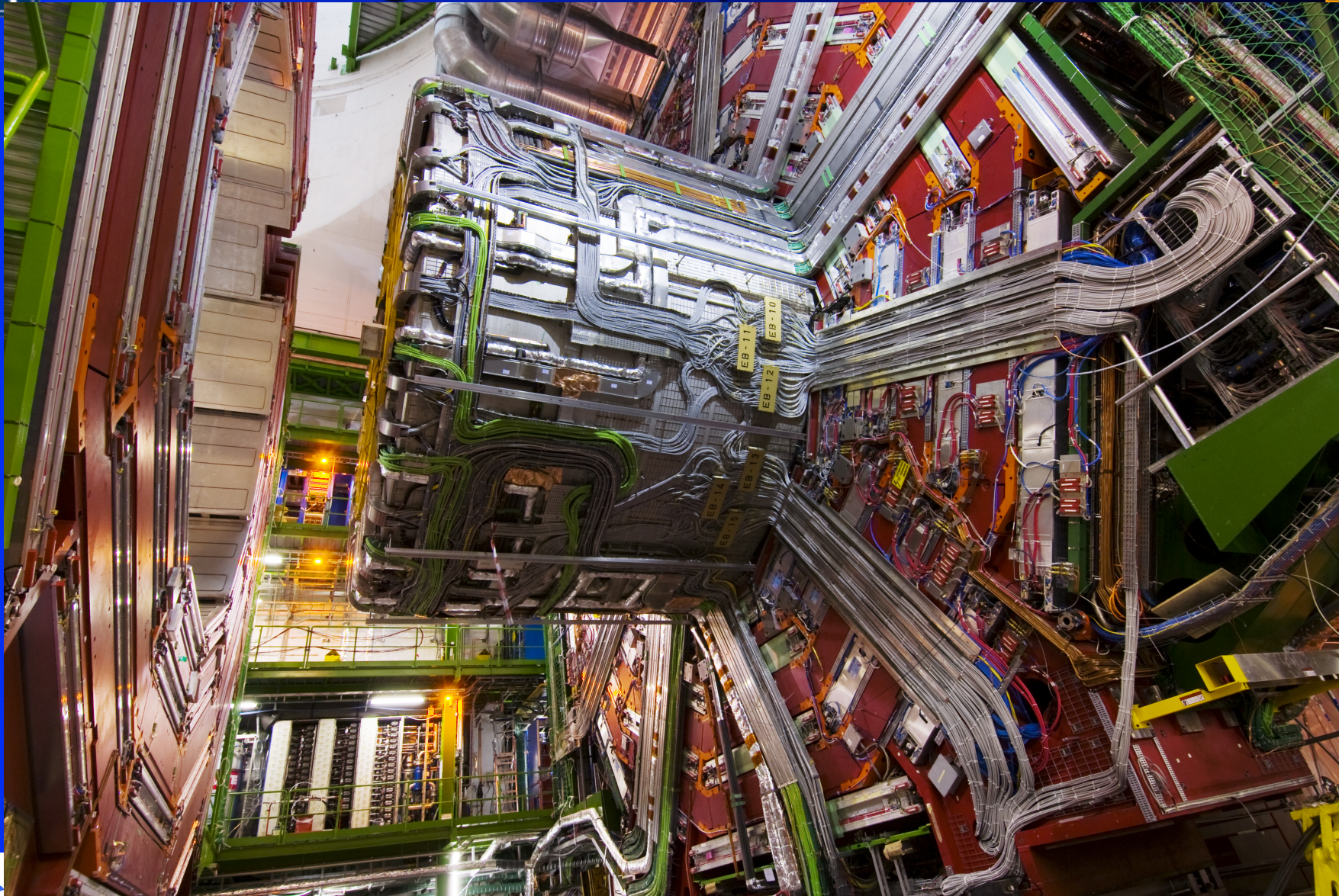
# L'aimant toroidal d'Atlas







# Montage de l'expérience CMS



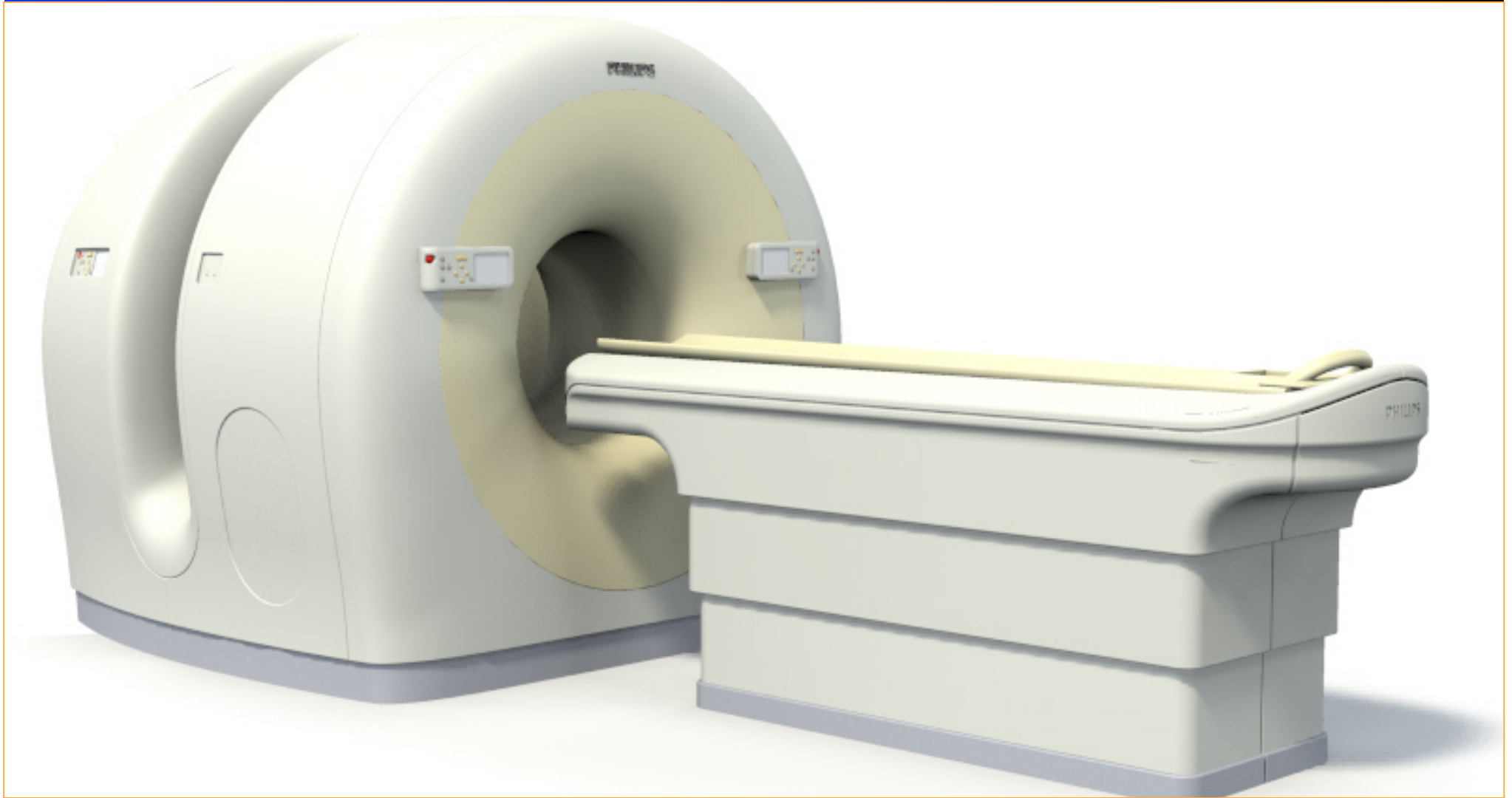




# Simulation de la désintégration d'un boson de Higgs dans CMS



# Scanner TEP/CT







# Imagerie anatomo-fonctionnelle non invasive



Patiente traitée pour un cancer du colon révélant à l'examen un cancer du sein additionnel





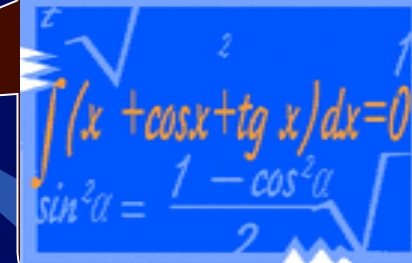
# L'imagerie médicale: une approche pluridisciplinaire



Physique



Mathématiques



Médecine



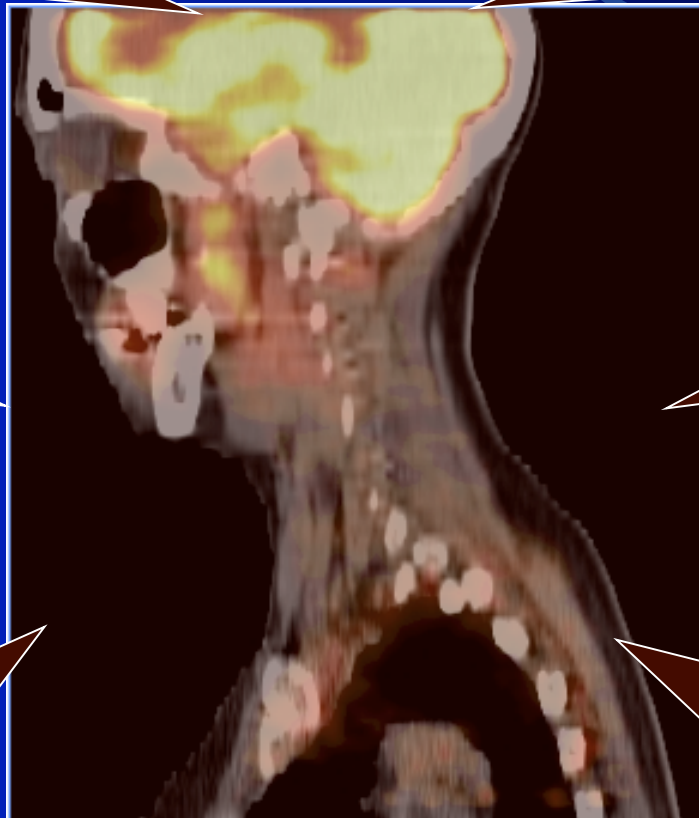
Chimie



Biologie



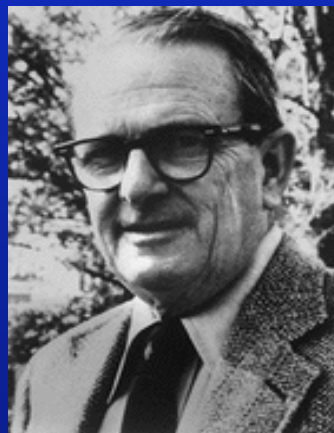
Informatique



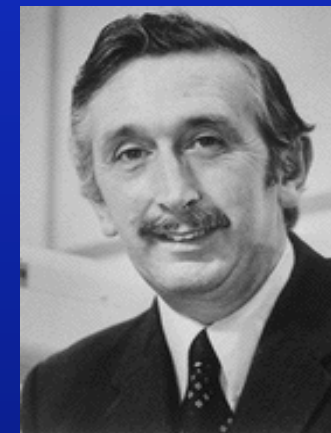
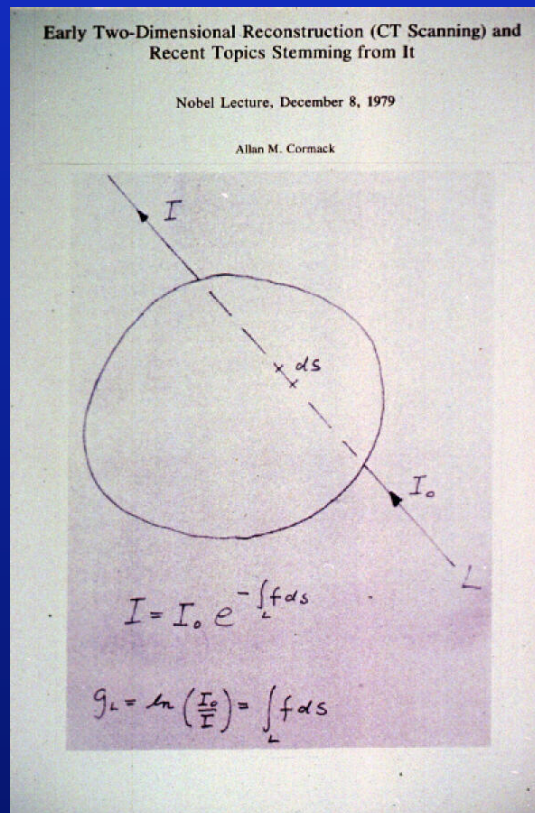
# CAT Scanner

## Le principe de la tomographie

### Prix Nobel de Physiologie et Médecine 1979

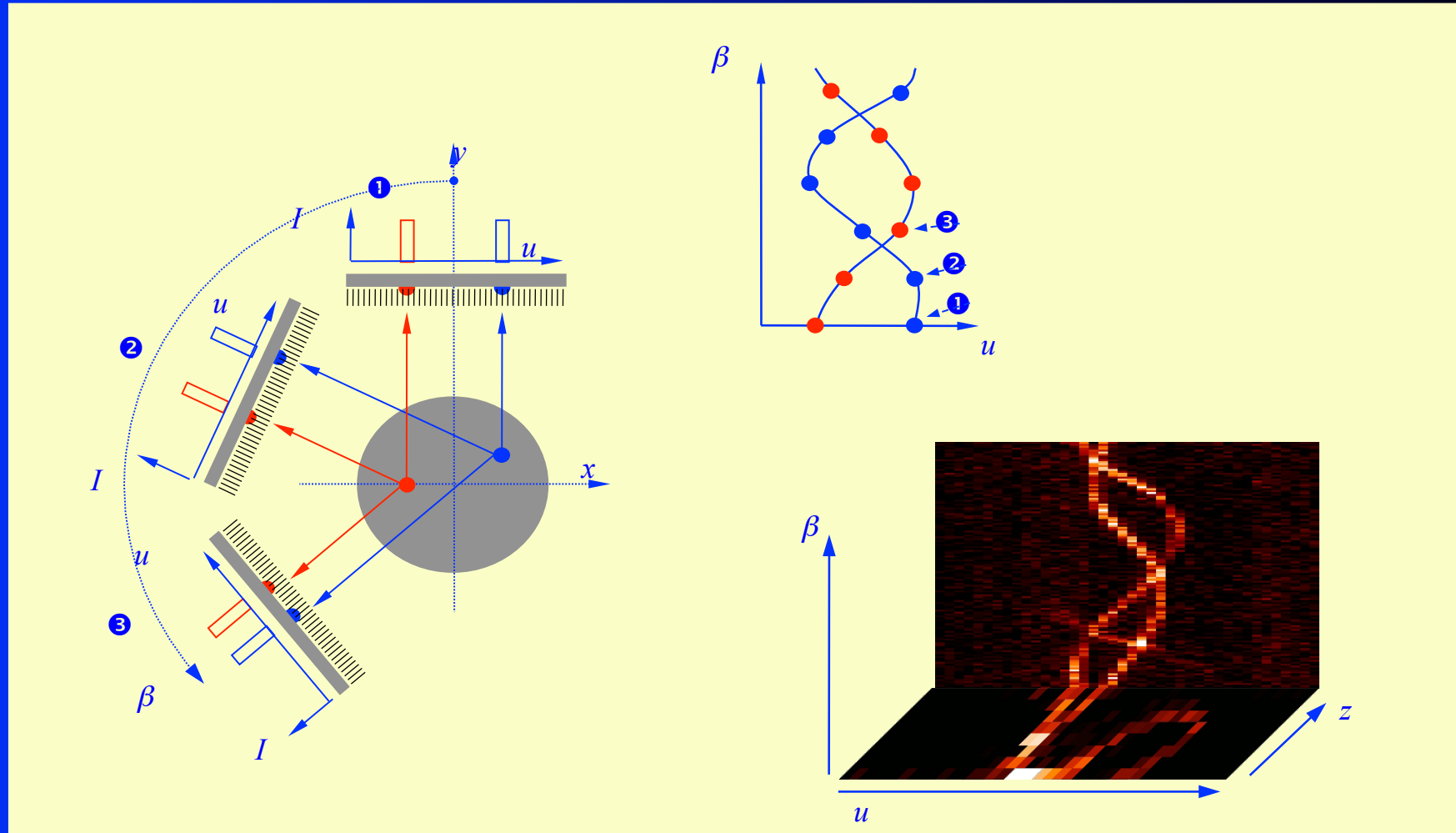


Allan MacLeod **Cormack**  
 Physicien Nucléaire  
 Cape Town  
 Harvard University  
 Tufts University



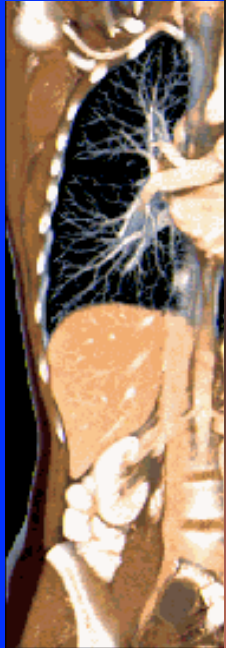
Sir Godfrey N. **Hounsfield**  
 Ingénieur électricien anglais  
 EMI Research

# Principle of CT

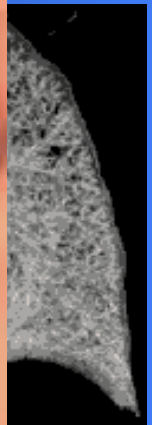




# Volumetric CT

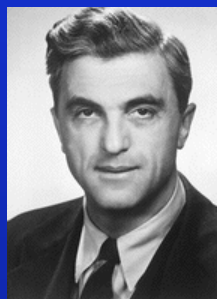


/sec)





# IRM, imagerie par résonance magnétique



Felix Bloch  
Physicien Stanford

## Prix Nobel de Physique 1952

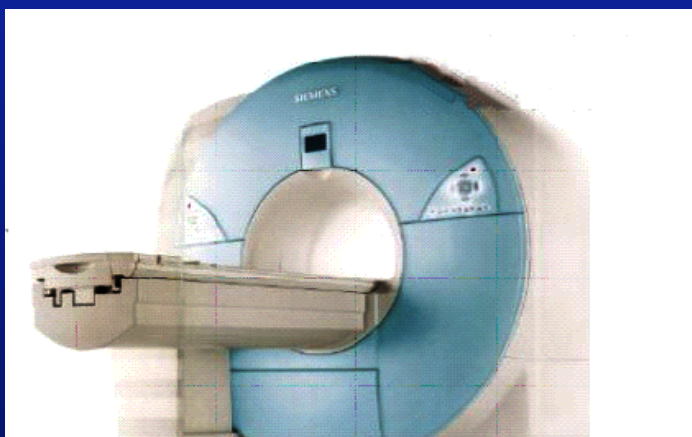


Edward M. Purcell  
Physicien Harvard

## Prix Nobel de Physiologie et Médecine 2003



Sir Peter Mansfield  
Physicien Nottingham



Paul C. Lauterbur  
Chimiste Uni. Illinois

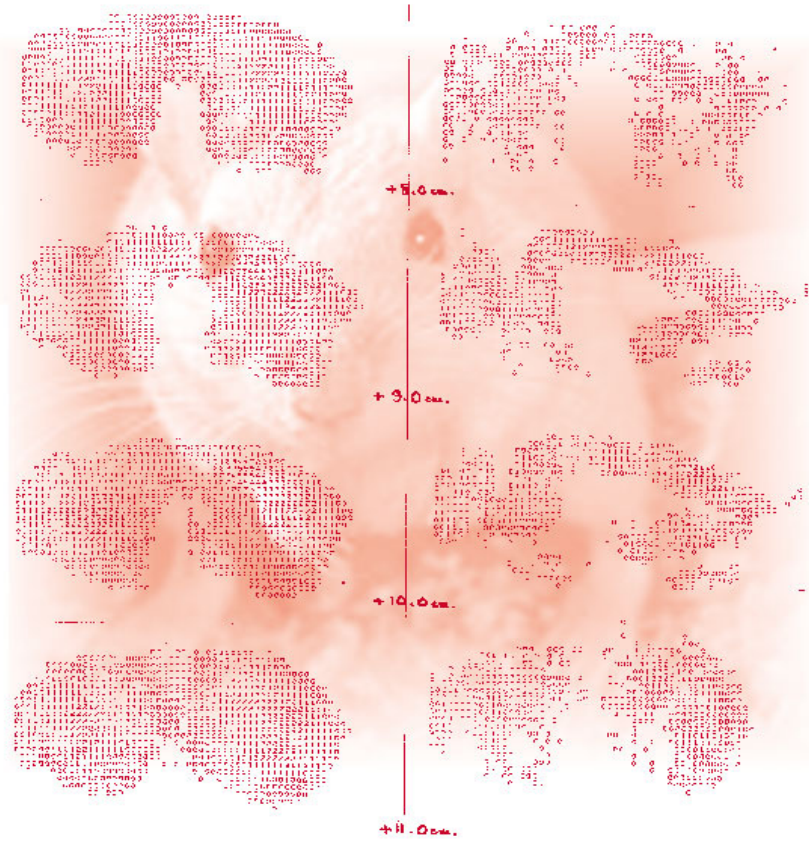
# 1977

## when PET started at CERN

SCAN OF MOUSE SKELETON : 5.7  $\mu\text{Ci}$ ,  $F^{18}$  (position emission)  
1 bin  $\approx 1\text{mm} \times 1\text{mm}$ . Plane spacing = 4 cm.

TOMOGRAM

RECONSTRUCTION



(Jeavons, Townsend et al.)

Spatial resolution 2.4 mm FWHM

Maximum data rate: 3000 c.p.s

Sensitivity: 25 c.p.s/ $\mu\text{Ci}$

1  $\mu\text{Ci} = 3.7 \cdot 10^4 \text{Bq}$

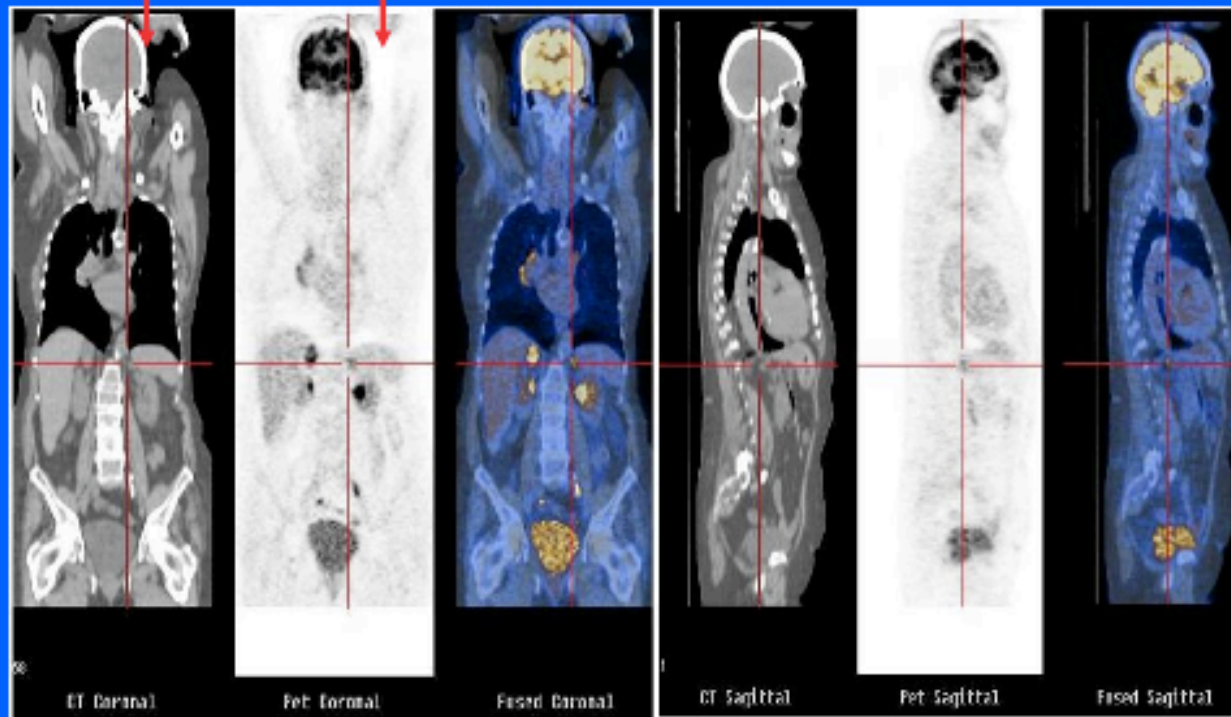
CERN Technology Transfer

<http://cern.ch/TTdb>



# Combiner les informations anatomique et fonctionnelle

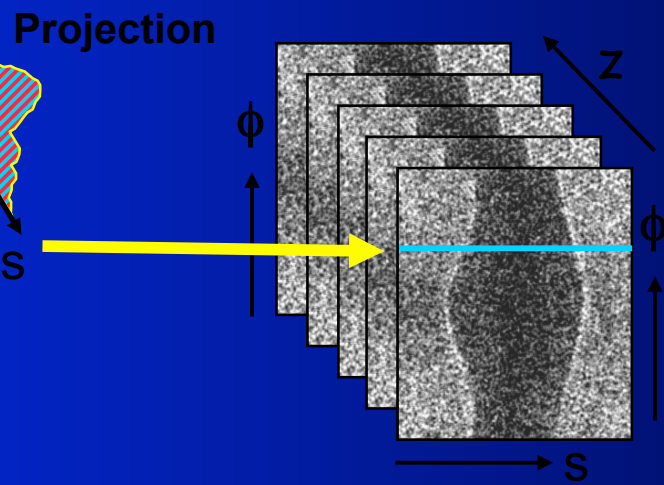
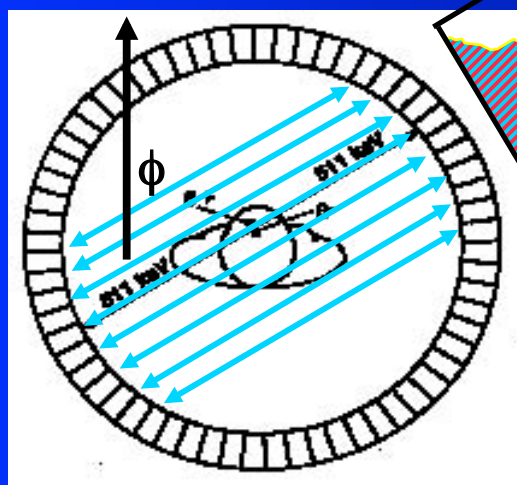
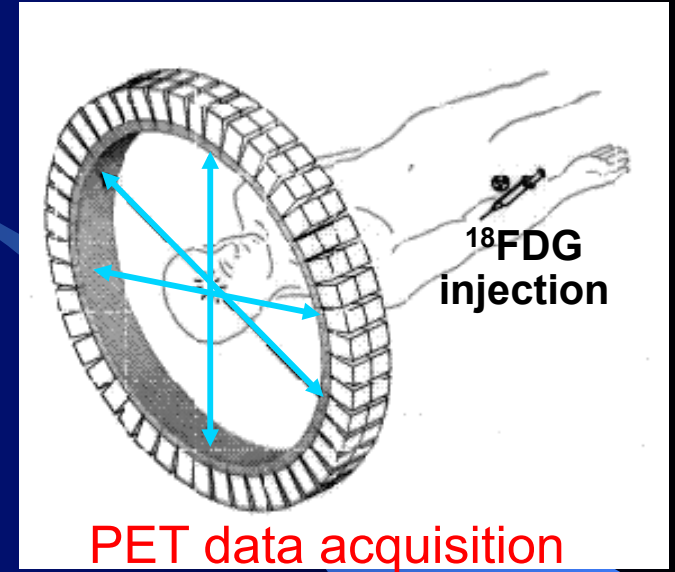
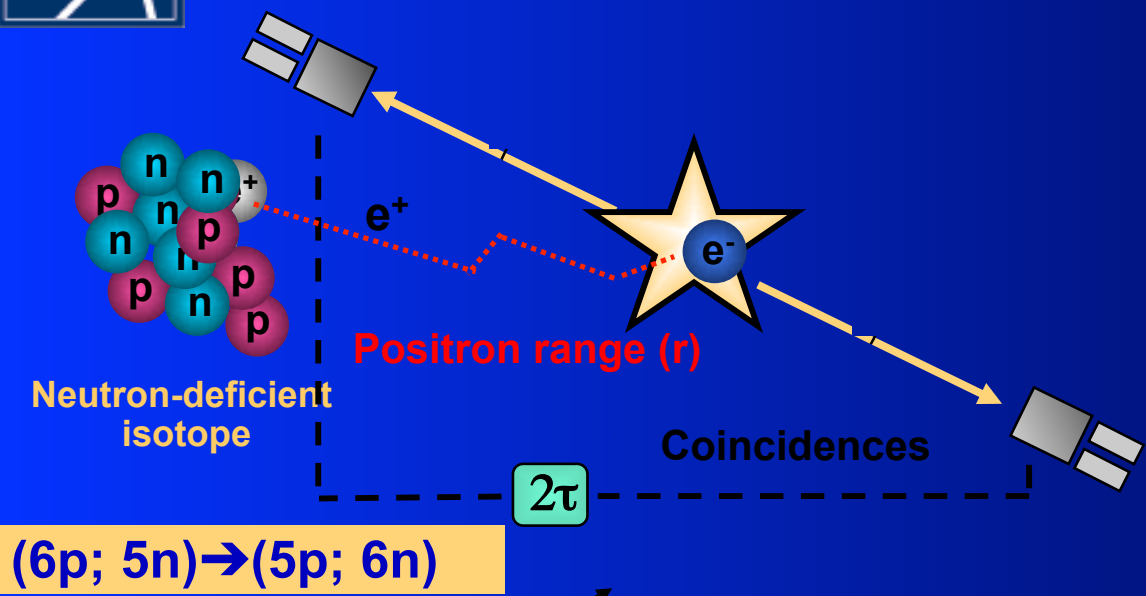
**morphology**      **metabolism**



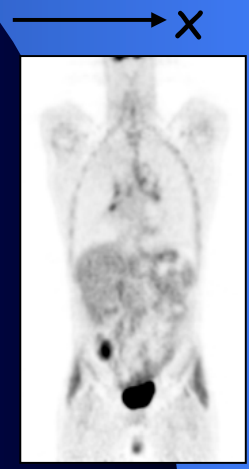
**David Townsend**  
**CERN: 1970-78**  
**Université de Genève**  
**UPSM Pittsburgh**  
**and**  
**Ronald Nutt**  
**(CTS – CTI)**



# PET Principle



Reconstruction







# Des défis similaires pour l'imagerie TEP et les détecteurs de physique



## Cahier des charges pour la physique

### 1. Cristaux

- Densité élevée ( $> 6 \text{ g/cm}^3$ )
- Emission rapide ( $< 100 \text{ ns}$ ), spectre visible
- Emission lumineuse modérée à élevée
- Excellente résistance aux radiations

Transfert technologique



### 2. Photodétecteurs

- Compact
- Grande efficacité quantique et gain élevé
- Grande stabilité

Transfert technologique



### 3. Electronique de lecture

- Mise en forme rapide du signal, faible bruit
- Fortement intégrée

Transfert technologique



### 4. Architecture d'acquisition DAQ

- Intégrée et parallèle, temps mort réduit

### 5. Logiciels

- Simulation précise par Monte Carlo

Transfert technologique



### 6. Intégration

- Systèmes compacts avec un très grand nombre de canaux ( $> 10'000$ )

Transfert technologique



Transfert technologique



## Cahier des charges pour l'imagerie médicale

### 1. Cristaux

- Densité élevée ( $> 7 \text{ g/cm}^3$ )
- Emission rapide ( $< 100 \text{ ns}$ ), spectre visible
- Emission lumineuse élevée
- Résistance modérée aux radiations

### 2. Photodétecteurs

- Compact
- Grande efficacité quantique et gain élevé
- Grande stabilité

### 3. Electronique de lecture

- Mise en forme rapide du signal, faible bruit
- Fortement intégrée

### 4. Architecture d'acquisition DAQ

- Intégrée et parallèle, temps mort réduit

### 5. Logiciels

- Simulation précise par Monte Carlo

### 6. Intégration

- Systèmes compacts avec un très grand nombre de canaux ( $> 10'000$ )



# The PET World Picture

Need to Image  
**0.000000511 TeV\***  
Photons

\*511 keV

**Signal Levels Are Very Low**







# L'imagerie: quelle qualité pour voir quoi?





# Limite liée à la résolution de l'instrument







# Limite liée au bruit de fond



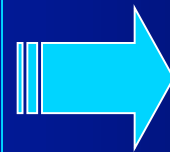


# Cas réel: combinaison des 2 effets





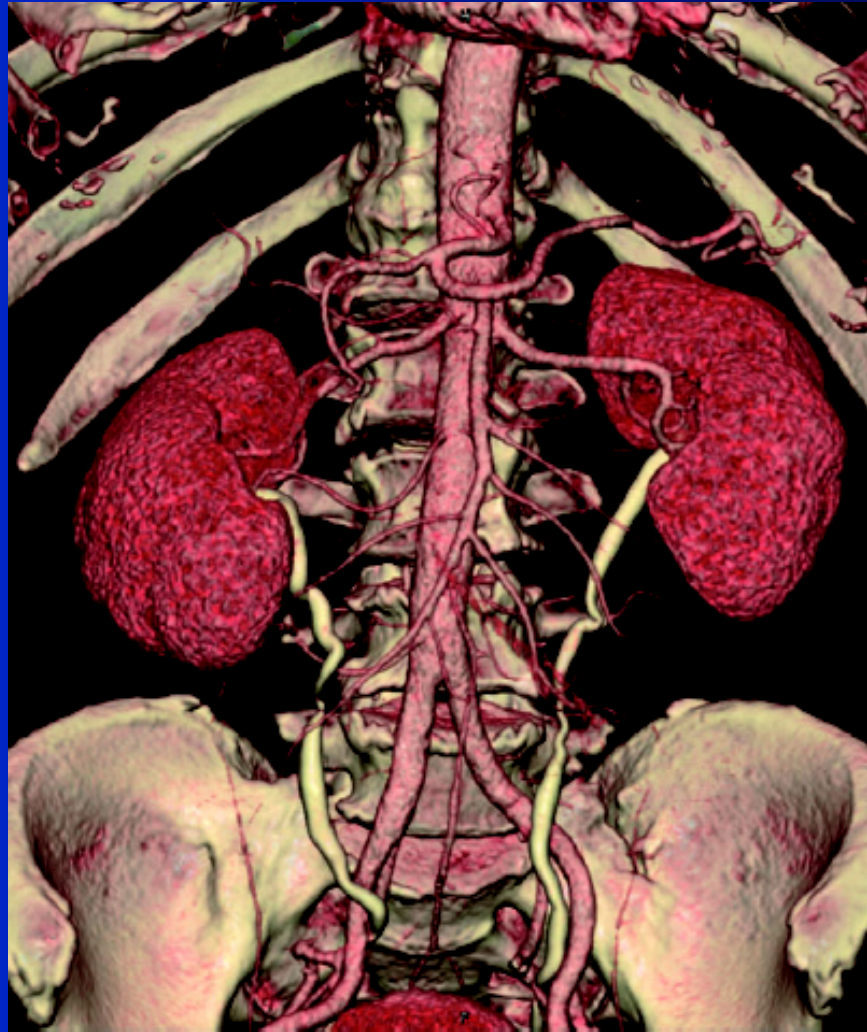
- Examens plus rapides
- Correction de mouvements
  - Respiration
  - Battements cardiaques
  - Bolus digestif
- Etudes dynamiques
- Quantification
- Multimodalité
- Réduire la dose aux patients



## AMELIORER

- Résolution spatiale
- Résolution temporelle
- Sensibilité
- Rapport Signal/Bruit

# La quête pour une meilleure résolution spatiale



Siemens Somatom CT 64 slices

CERN – French Physics Teachers - 22 juin 2014





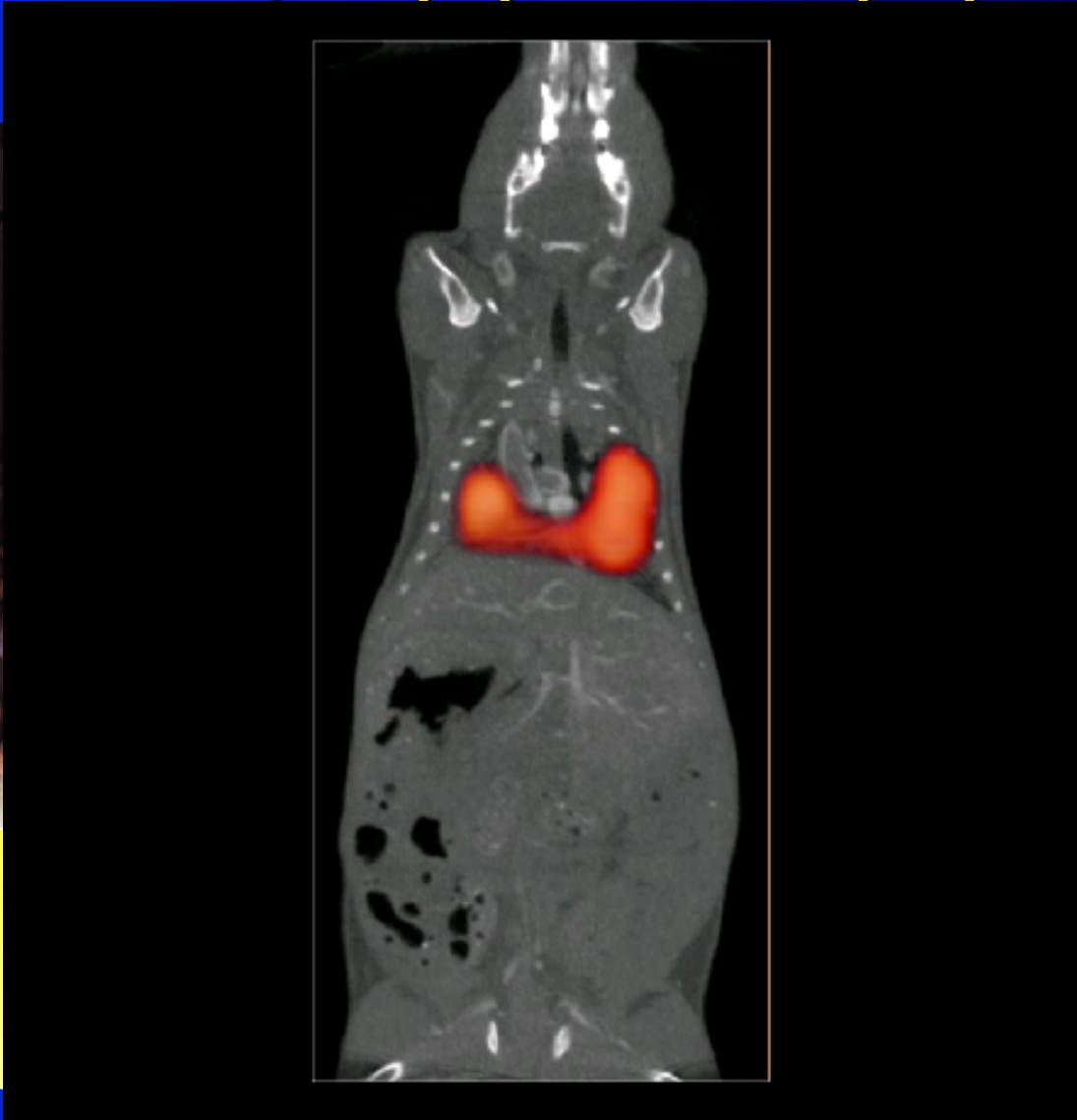
# Trends in medical imaging



- Small animal imaging
  - Large variety of transgenic animals (mainly rodents) to model different disease
  - Repetitive observations of biological processes on the same animal
  - Assess effectiveness of new diagnostics, prevention and therapeutic strategies
  - Develop new drugs



# La quête pour une meilleure



(x 300)

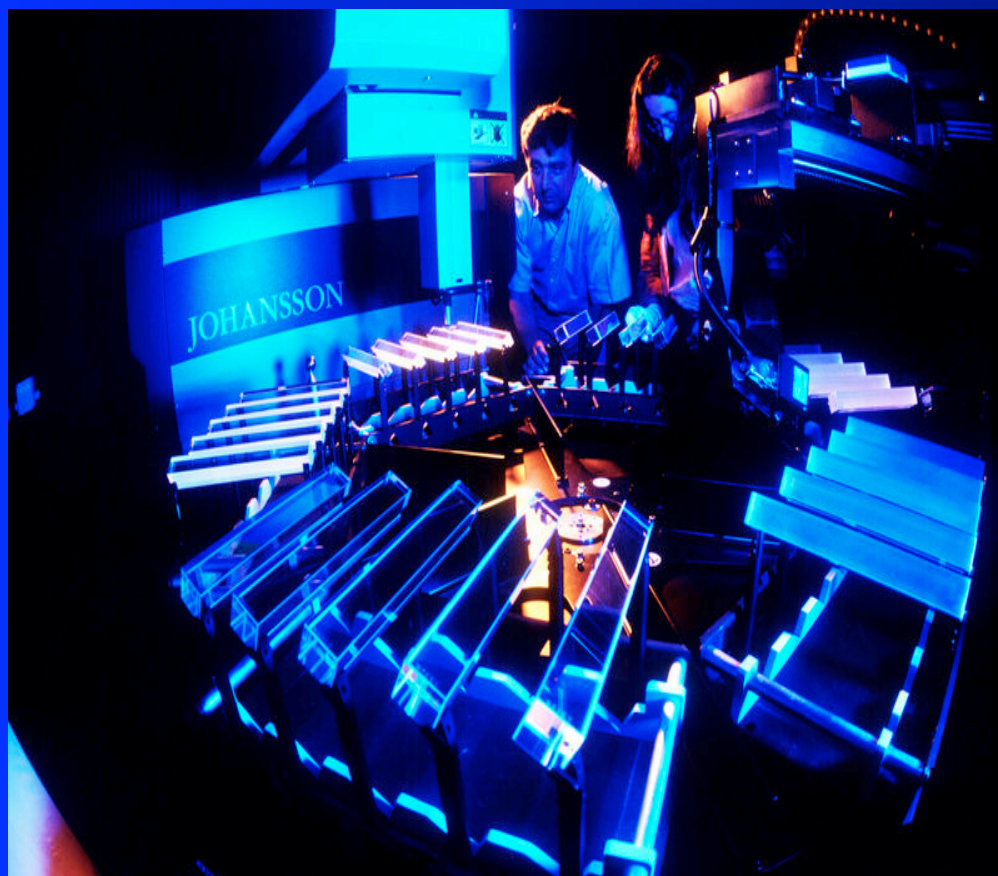
0)

x réclame des  
gration et à

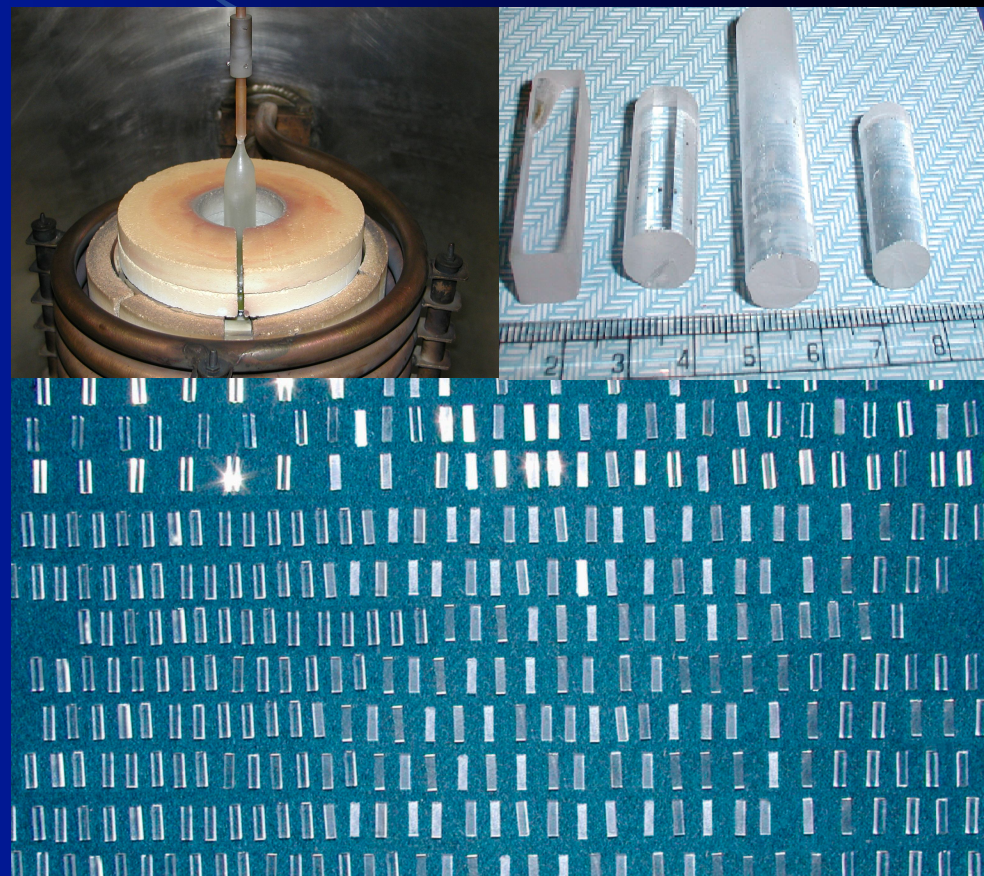


# 1- Cristaux

CMS PbWO<sub>4</sub> production



Crystal Clear LuAP production







# Scintillators for PET

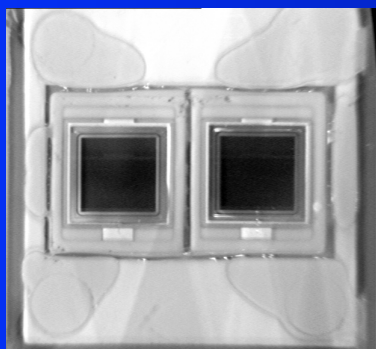


## Scintillators for PET

	1962	1977	1995	1999	2001	2003	2007
	NaI	BGO	GSO:Ce	LSO:Ce	LuAP:Ce	LaBr <sub>3</sub> :Ce	LuAG:Ce
Density (g/cm <sup>3</sup> )	3.67	7.13	6.71	7.40	8.34	5.29	6.73
Atomic number	51	75	59	66	65	47	63
Photofraction	0.17	0.35	0.25	0.32	0.30	0.13	0.30
Decay time (ns)	230	300	30-60	35-45	17	18	60
Light output (hv/MeV)	43000	8200	12500	27000	11400	70000	>25000
Peak emission (nm)	415	480					
Refraction index	1.85	2.15	430	420	365	356	535
			1.85	1.82	1.97	1.88	1.84

# 2- Photodetecteurs

CMS



Hamamatsu single channel APD

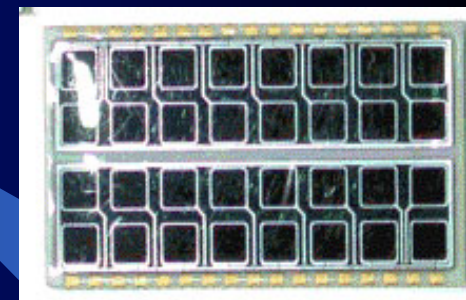
LHCB



HPD tube manufactured at CERN: 2048 channels

BrainPET

ClearPEM



Hamamatsu 32 channels APD array

Opera



Hamamatsu H7546 64 channel PMT

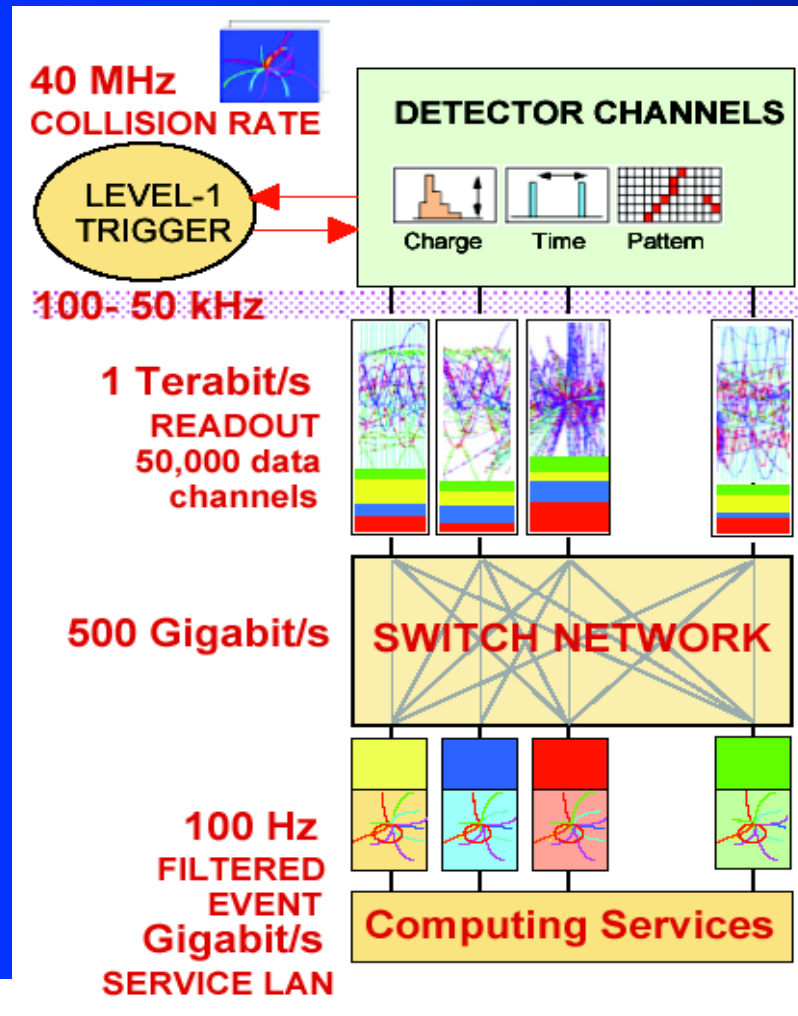
ClearPET

Mammography



Hamamatsu PM flat panel

## LHC

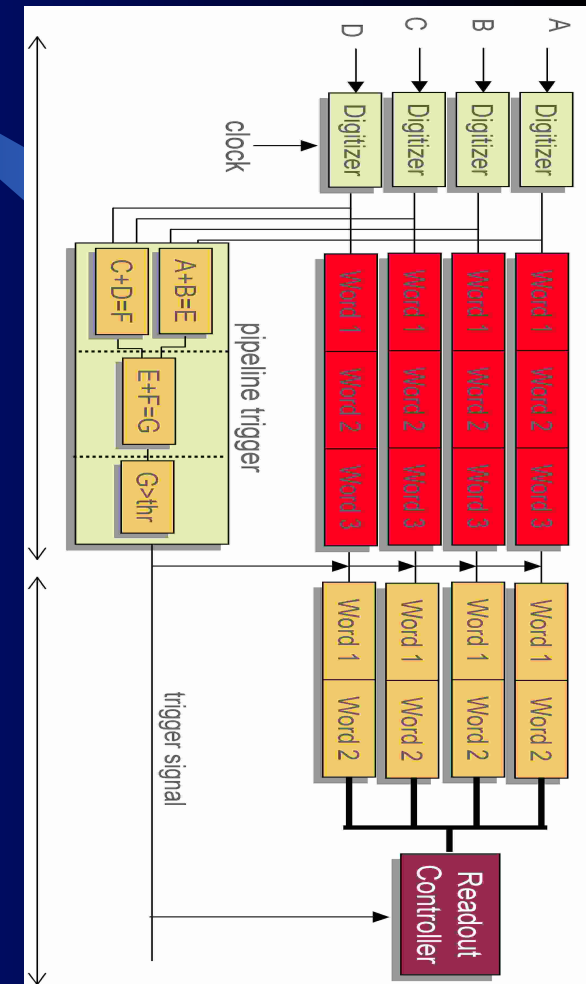


Digitisation

Pipeline

Event builder

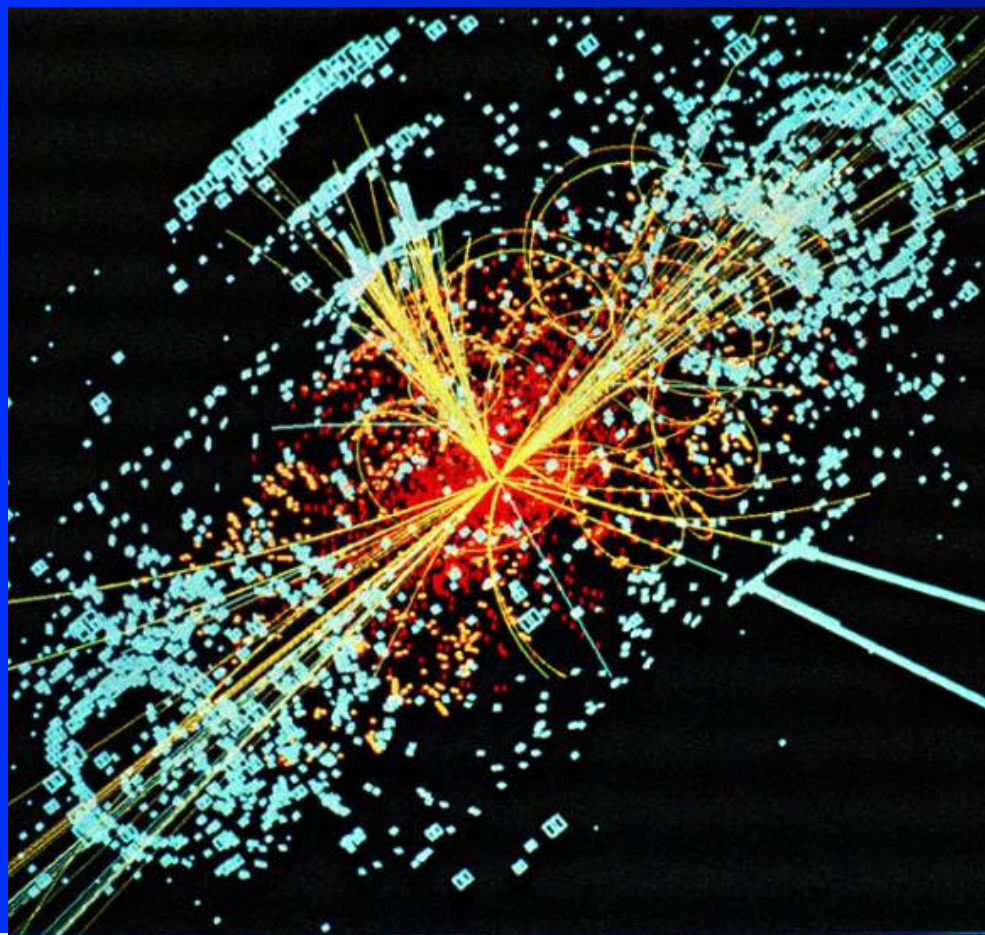
## Modern PET



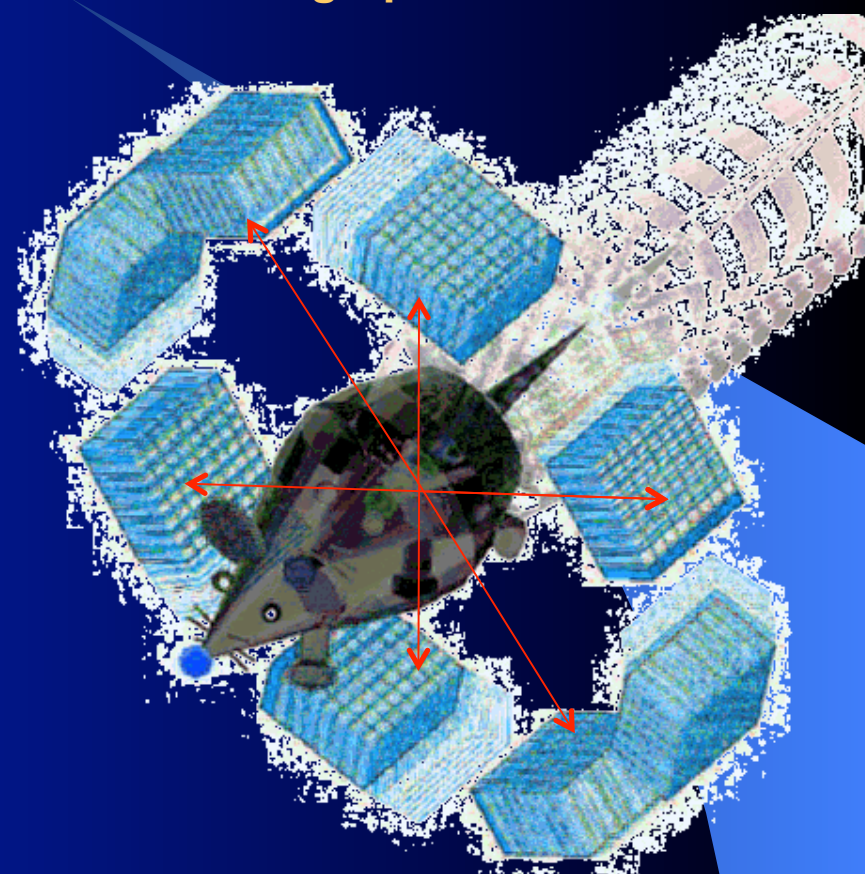


# 4- Simulation

Higgs event at LHC (CMS) with Geant4

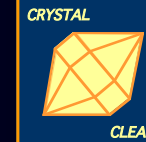


ClearPET with GATE: Geant4 Application for Tomographic Emission

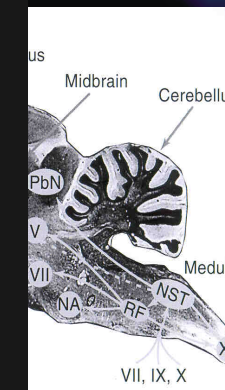
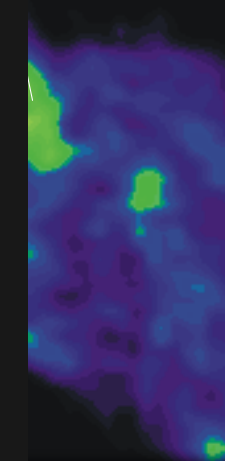




# ClearPET<sup>®</sup>, TEP petit animal



Cerebellum





# Etudes de plus en plus spécifiques sur modèles animaux

- L'imagerie petit animal se fait généralement sous anesthésie
- L'anesthésie modifie les fonctions cervicales et biaise les études neuro-physiologiques
- RATCAP, développé à BNL est un TEP miniaturisé et portable pour animal éveillé
- 12 blocs de 4x8 cristaux de LSO 2x2x5mm<sup>3</sup> lus par des matrices de 4x8 APD et 0.18µm CMOS ASIC
- C. Woody et al. Several papers in conference records of NSS/MIC2004, Rome



*Courtesy of C. Woody, BNL*





# ClearPEM-Sonic a collaborative project between physicians and physicists

Installed in Marseilles North hospital since December 2010  
Reinstalled in San girardo hospital, Milano, in October 2013



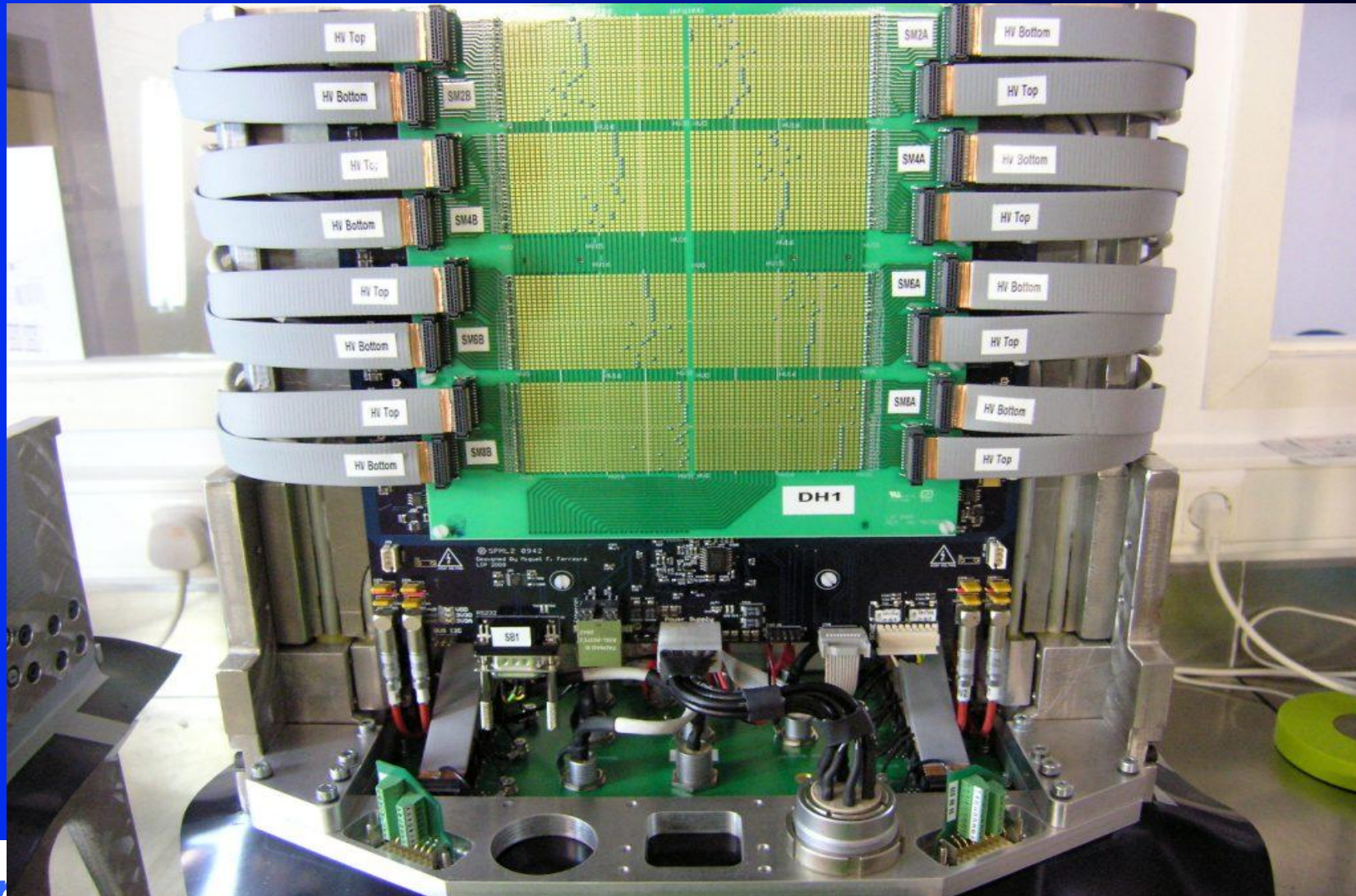
ClearPEM: Metabolic information

Aixplorer: Morphologic and structural information

*Objective: Detect 3mm tumors and define their cancerous status*

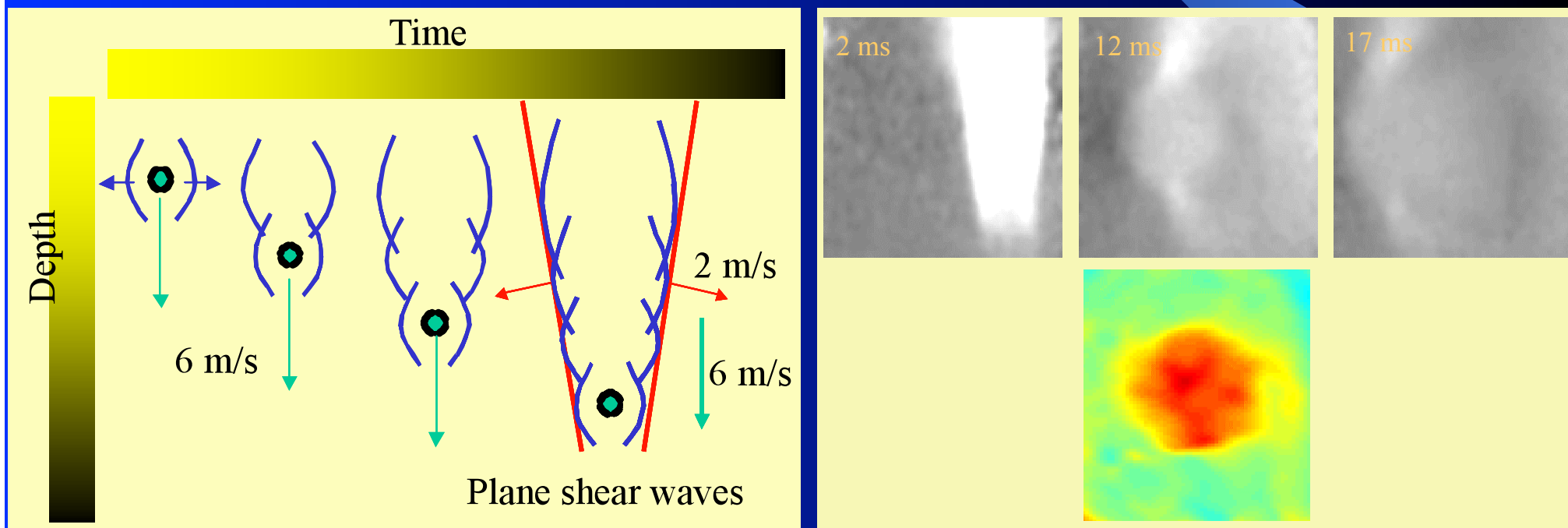


# Des technologies d'avant-garde ClearPEM



# New technologies Ultrasound

- Focus ultrasound beam in tissue
- Propagate focal point at a supersonic speed in breast
- Measure the deformation of the shock wave by a tumor



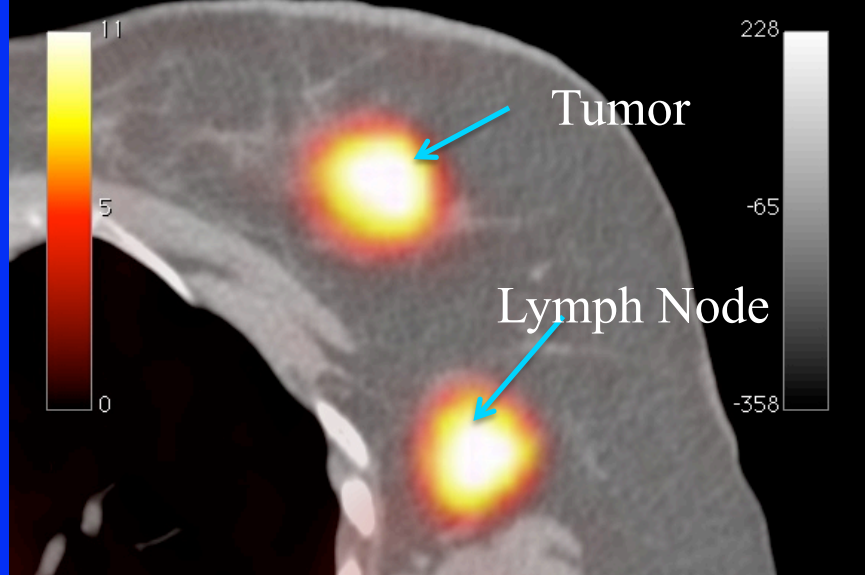




# Benefit of dedicated breast PET imaging



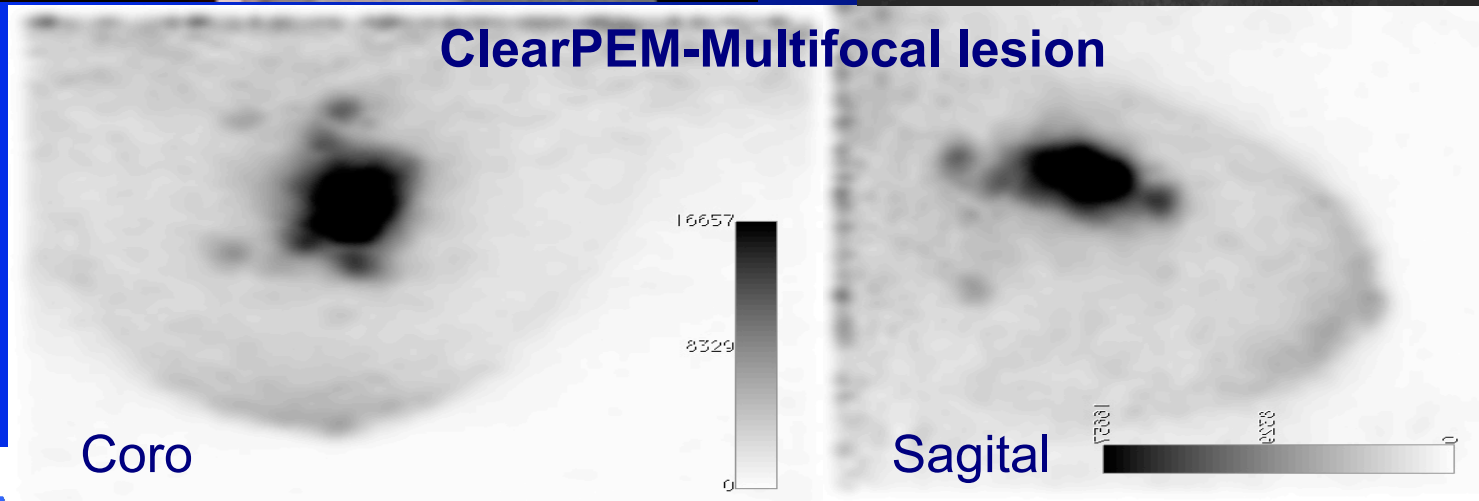
### PET Whole Body (AC and Fused)

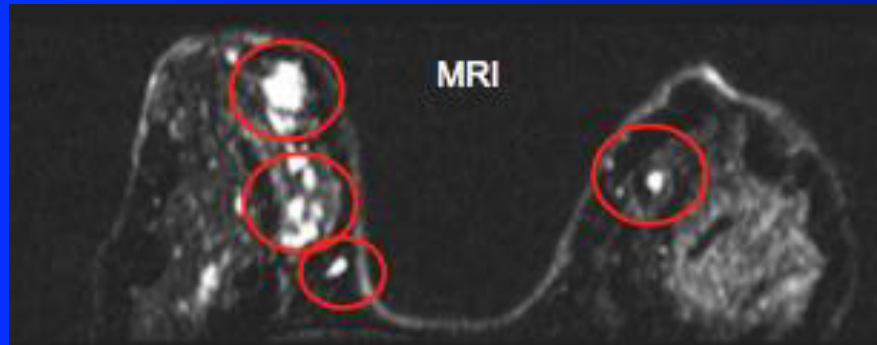


### MRI-Multifocal lesion



### ClearPEM-Multifocal lesion





4 lesions identified on MR image



Only one suspicious lesion identified on PET image

Subsequent biopsy and histology of all four lesions confirmed that only the lesion seen on PET image was cancerous

*Courtesy: Dr. José Ferrer, ERESA, Hospital General Universitario de Valencia, Spain*



# ENDO TOFPET US

Endoscopic TOFPET & Ultrasound

*Novel multimodal endoscopic probes for simultaneous PET/ultrasound imaging for image-guided interventions*

**FP7 project, call Health 2010**

**P. Lecoq**  
*CERN, Geneva, Switzerland*







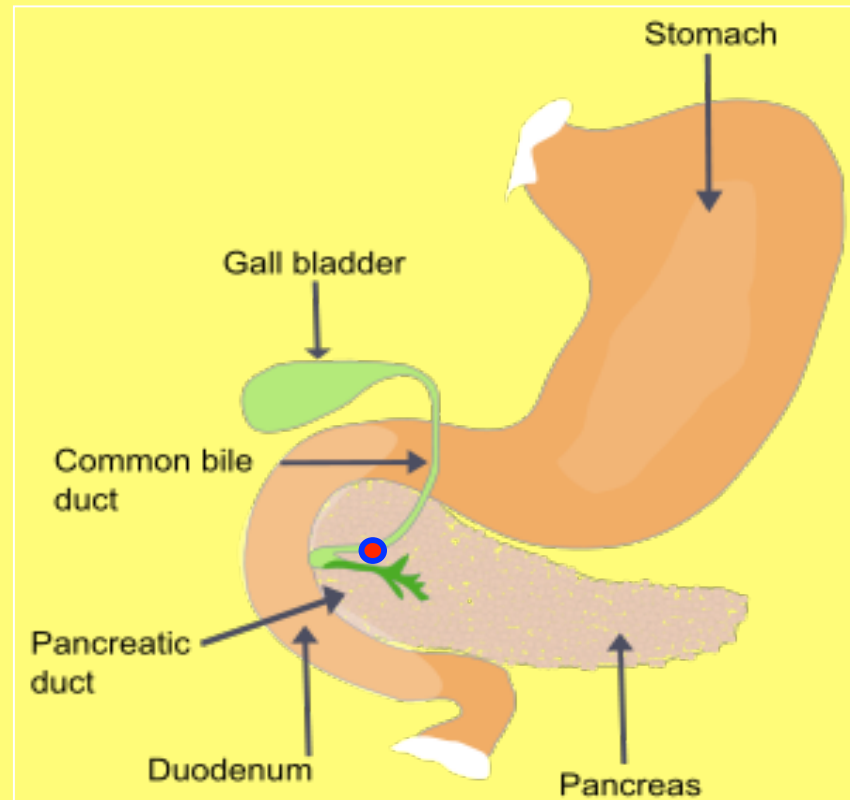
# Imaging tool for pancreas and prostate cancer biomarker development



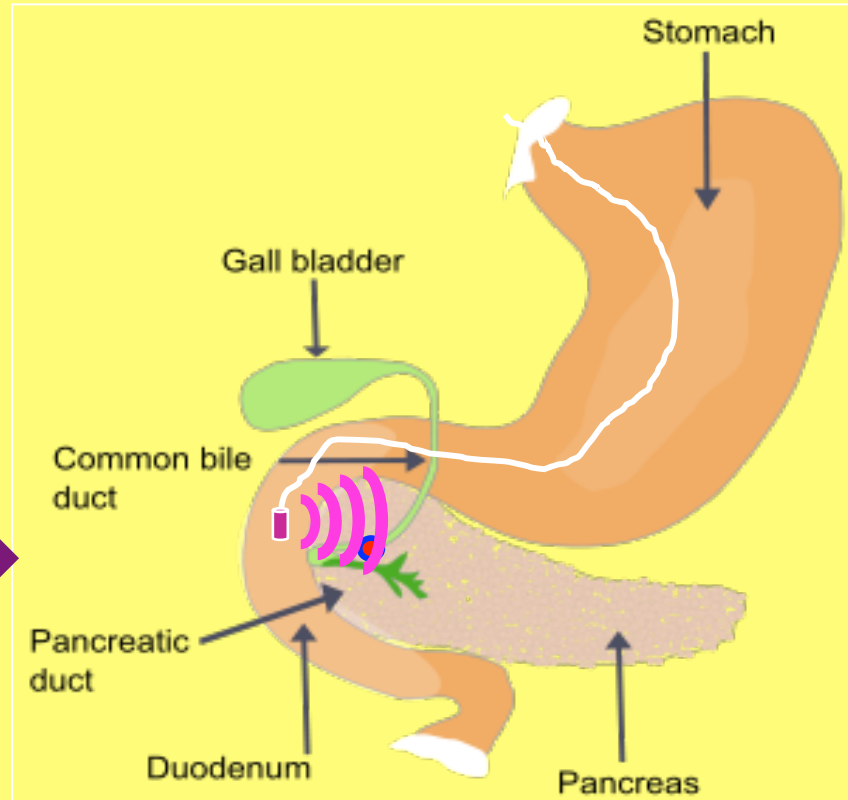
## *Objectives*

- Develop new biomarkers for pancreas and prostate cancer
  - Ex: mAb16D10 antibody for pancreas
  - Ex:  $^{68}\text{Ga}$  – PSMA for prostate
- Introduce PET as an endoscopic imaging tool
- Develop intra-operative interventional imaging techniques

# EndoTOFPET-US: The Principle

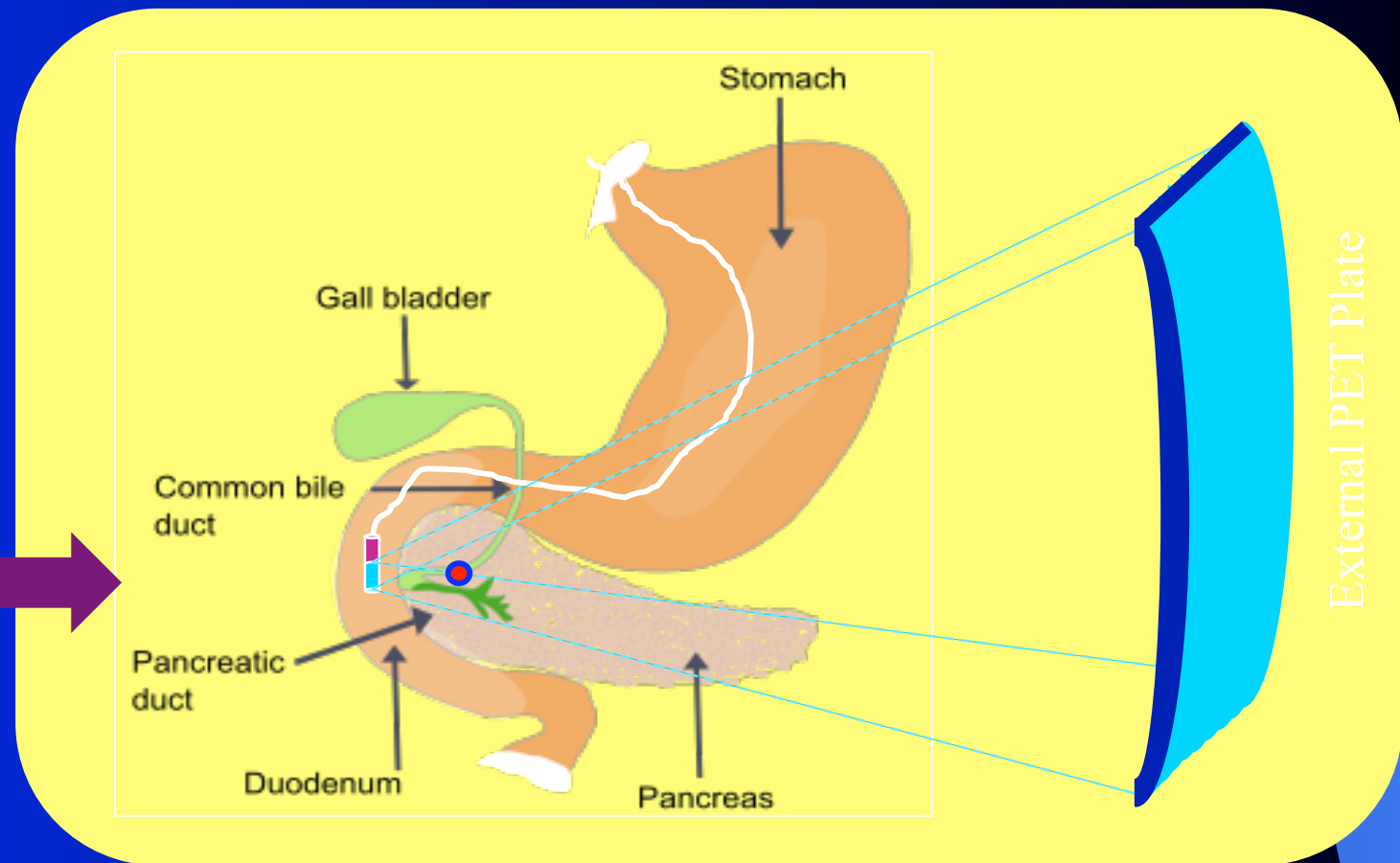


# EndoTOFPET-US: The Principle

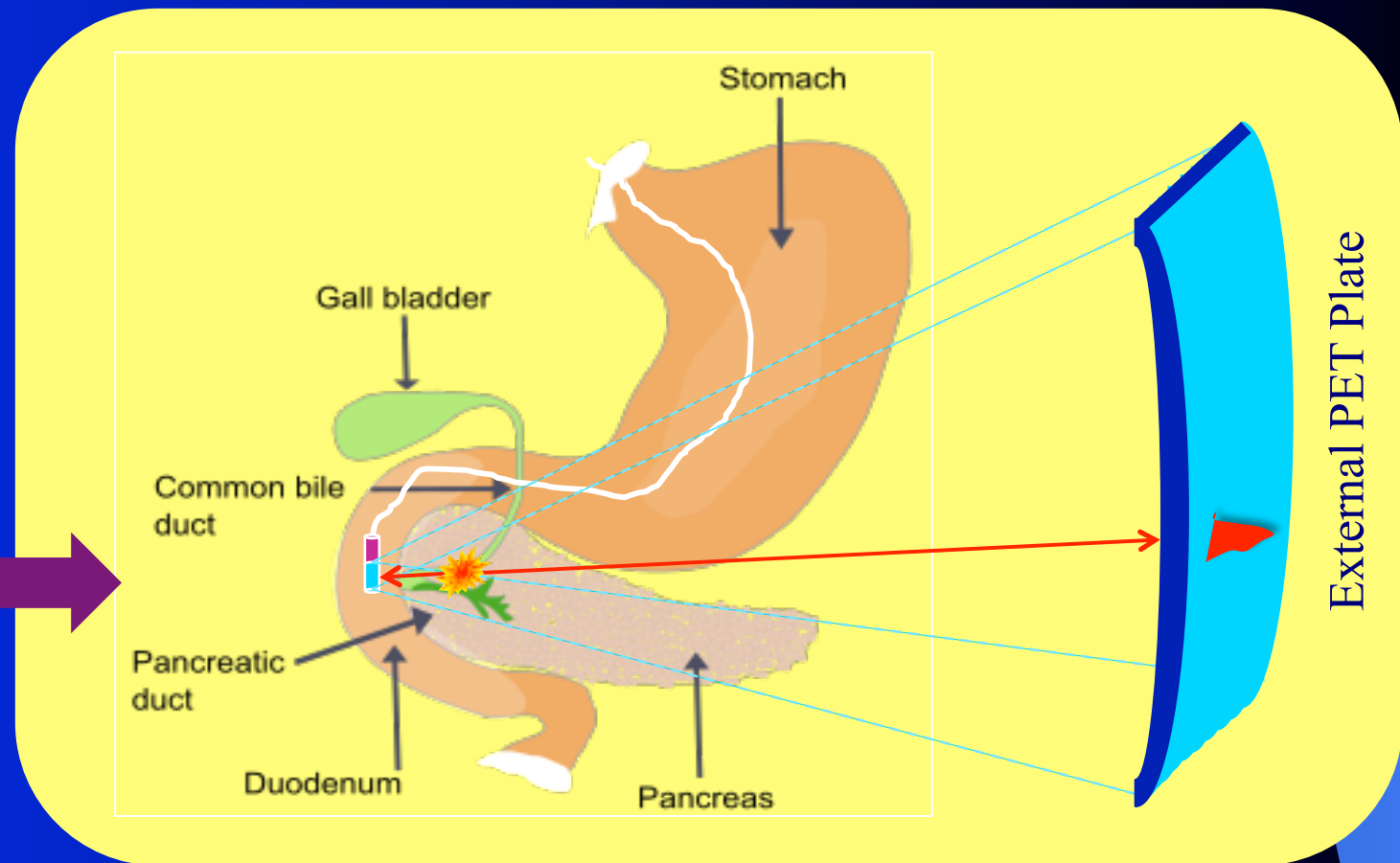




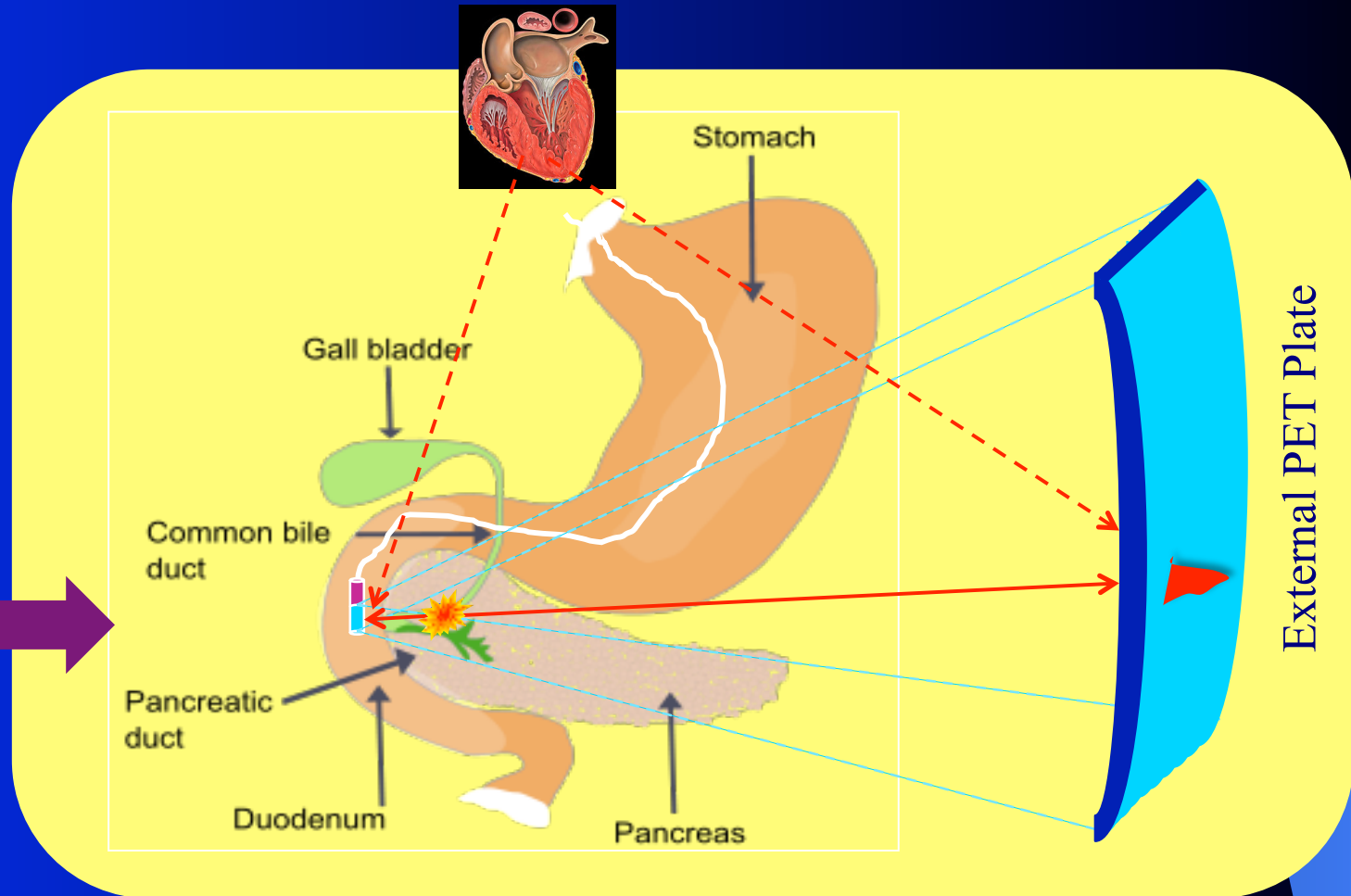
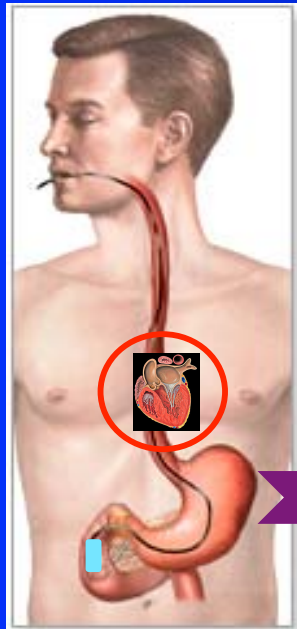
# EndoTOFPET-US: The Principle



# EndoTOFPET-US: The Principle

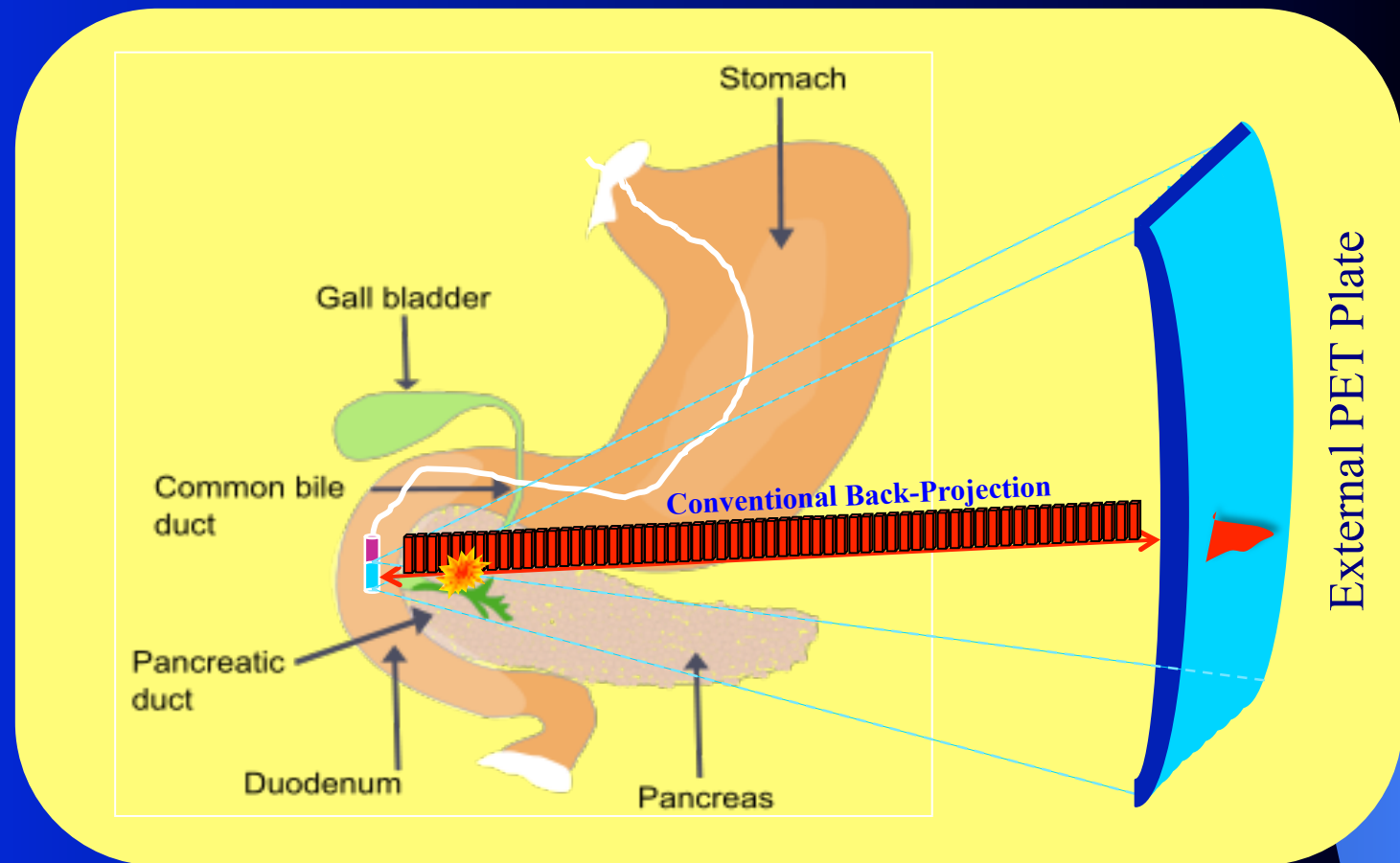


# EndoTOFPET-US: The Principle





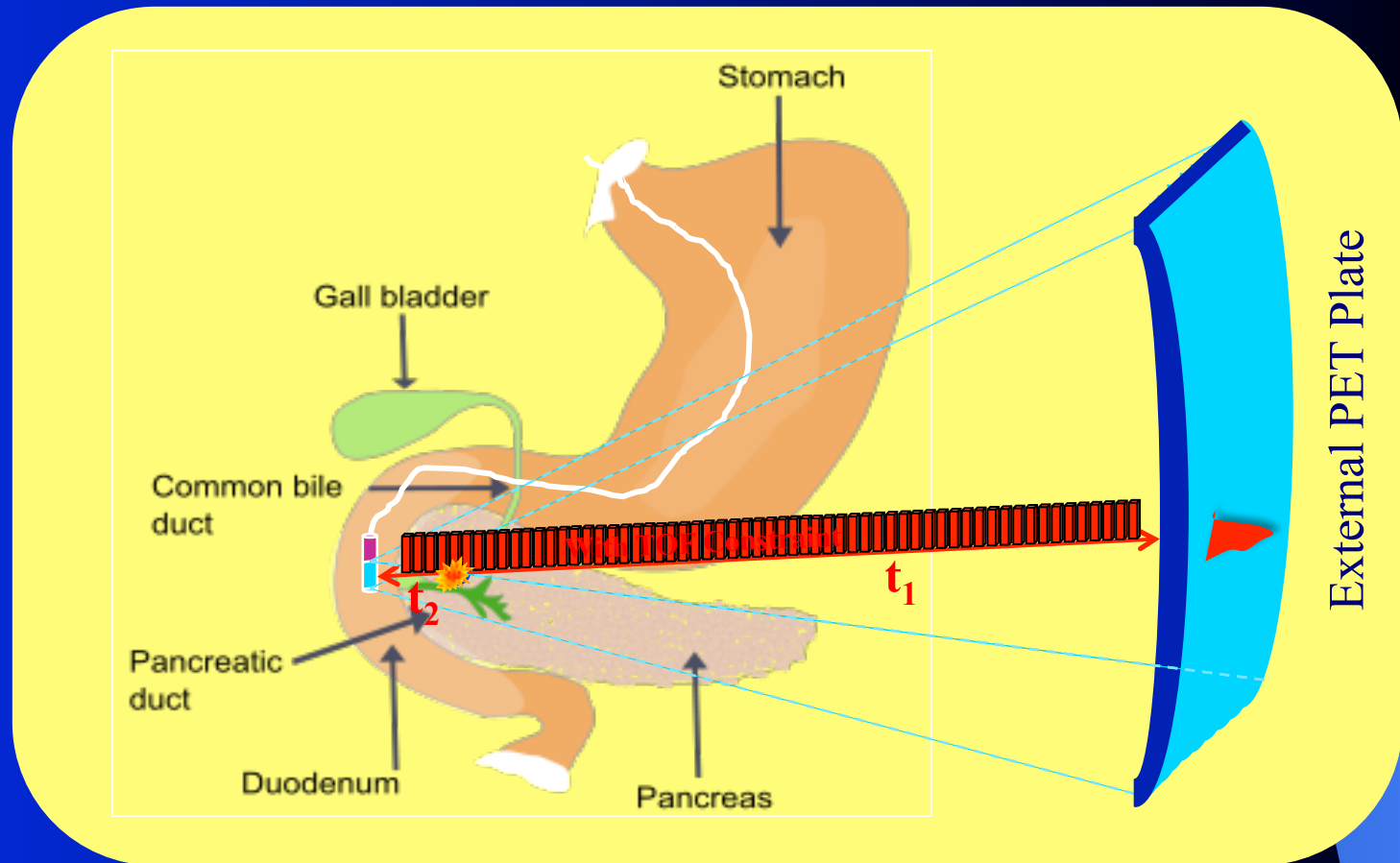
# EndoTOFPET-US: The Principle



# EndoTOFPET-US: Why TOF?

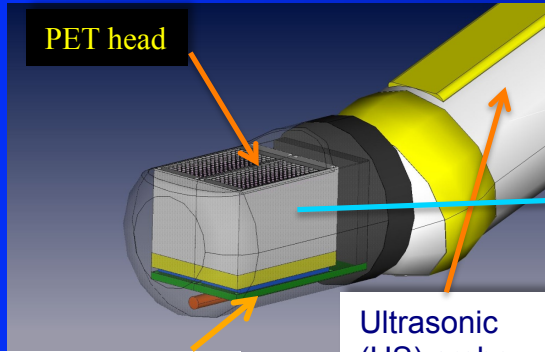
$$\Delta z = \left| \frac{t_2 - t_1}{2} \right| \times c$$

Target CTR: 200ps  
→ 30mm FWHM



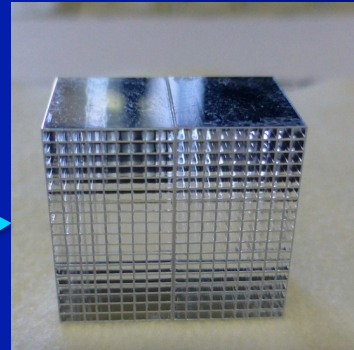
# Technical design

**Internal probe : 1 or 2 matrices of 9x18 LYSO pixels**



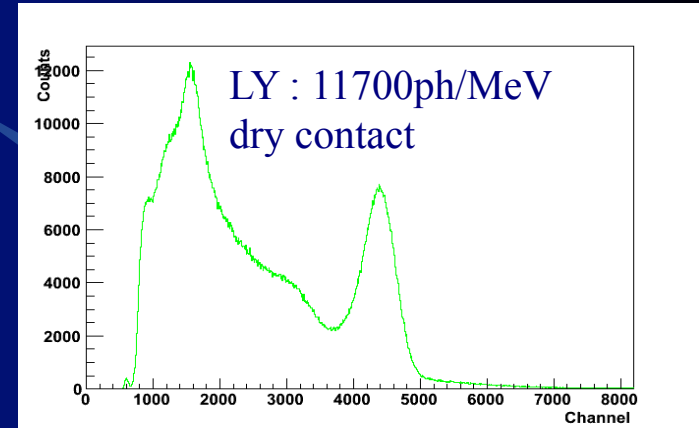
e.m. tracking sensor

Ultrasonic (US) probe

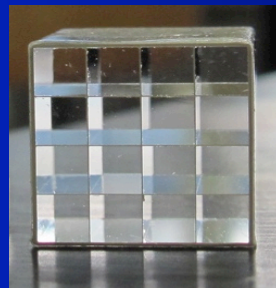
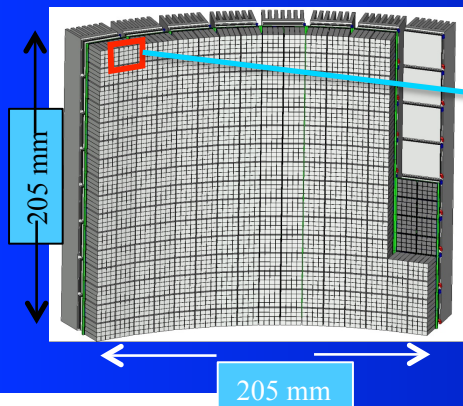


2 LYSO matrices from Proteus.  
Crystal pitch: 800 $\mu$ m, length: 10mm  
Coating: ESR reflector by 3M

Photopeak for entire matrix 9\*18 with dry contact

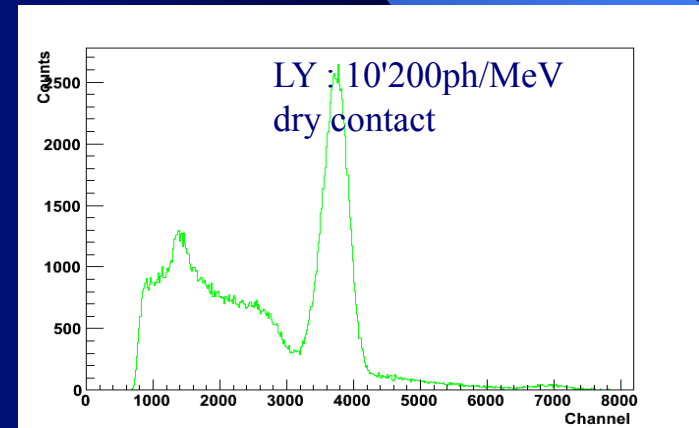


**External plate: 256 matrices of 4x4 LYSO pixels**



LYSO matrix from CPI  
Crystal pitch: 3.2mm, length: 15mm  
Coating: ESR reflector by 3M

Photopeak for entire matrix 4\*4 with dry contact



On both prototype matrices  
narrow photo-peak for the entire matrix  
--> uniform LY among pixels



# Molecular Imaging in Medicine & Biology

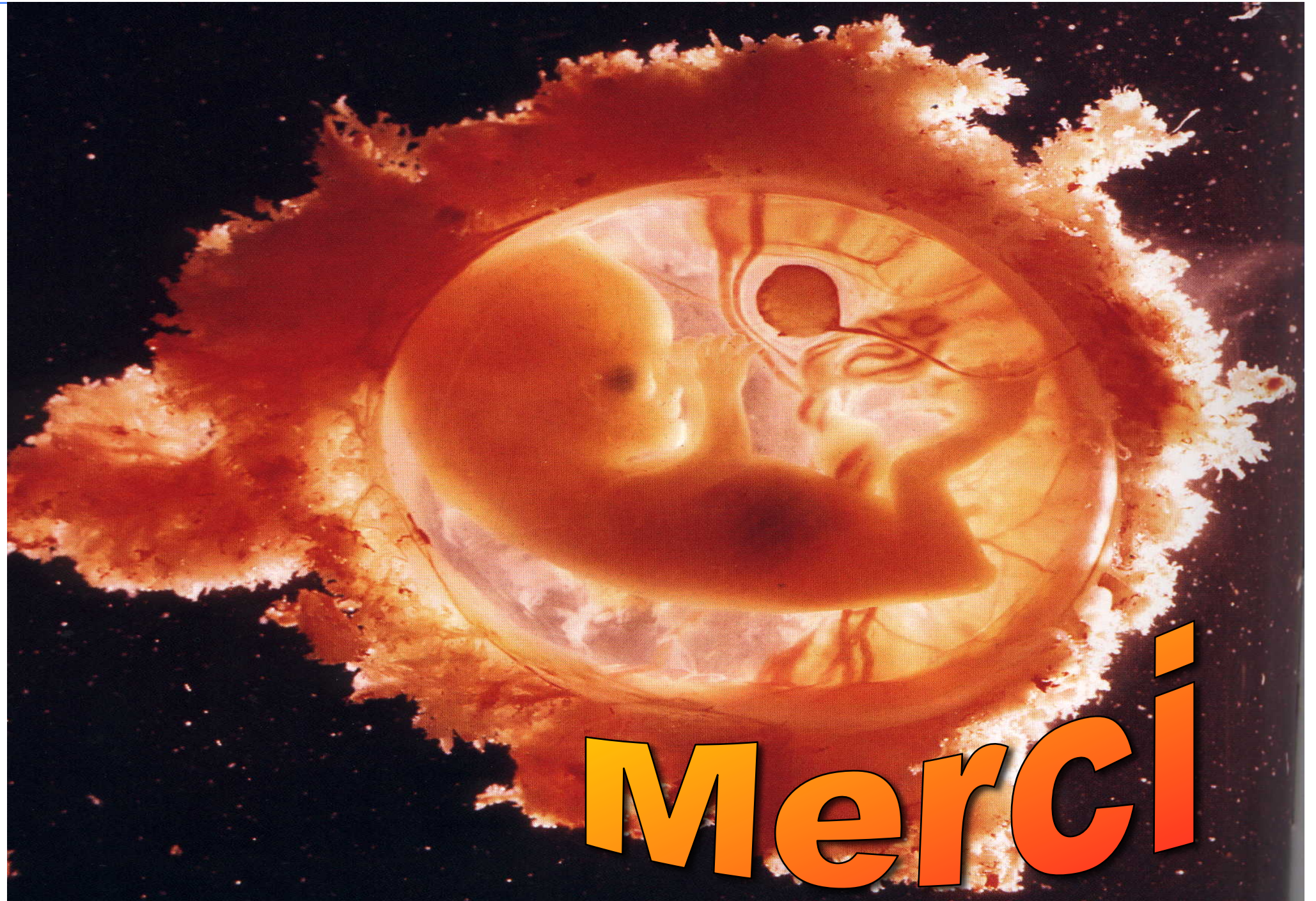
## ◆ Molecular Imaging to answer challenge of modern biology

- Access real time genomics through *in vivo* imaging of molecular process
- Detect early transformations in a cell, which may lead to pathology (precancerous activity)
- Early detection, prognosis, treatment selection, response to therapy
- Identify molecular pathways from gene to disease (genomics, proteomics)
  - » Novel molecular targets
  - » Specific genetic pathways
  - » Signal transduction
  - » Cell cycle alteration
  - » Angiogenesis
  - » Apoptosis

**Requires specific effort on imaging instrumentation**  
**Sensitivity, Spatial and Temporal resolution**

**Requires targeting the cellular activity**  
**with specific contrast agents**

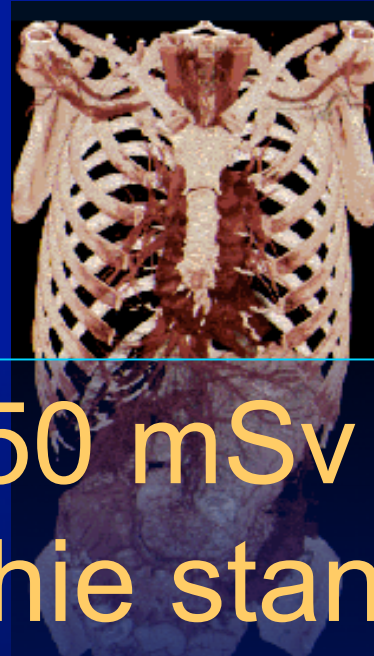
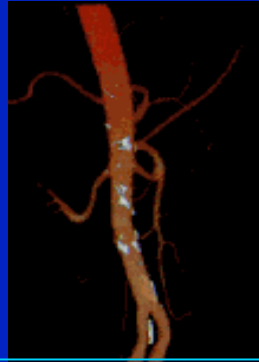
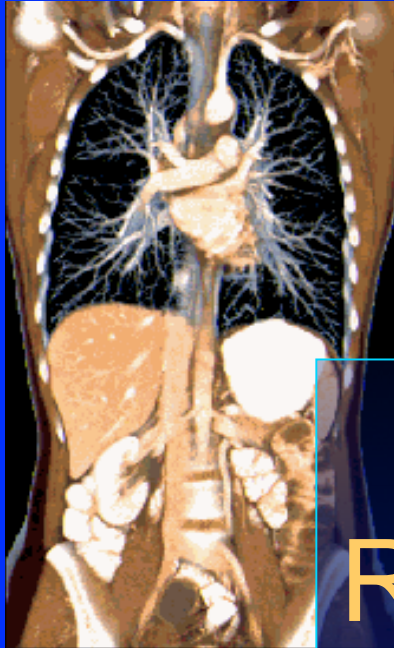




**Merci**

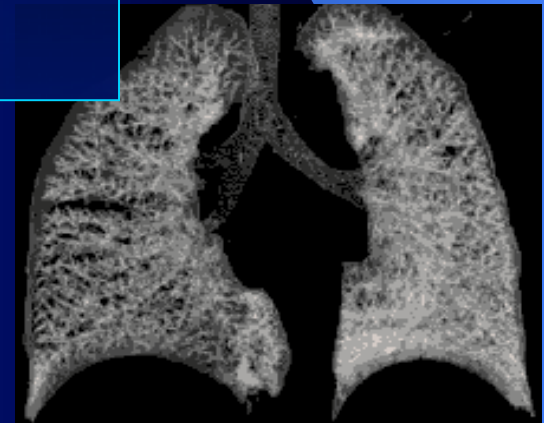


# Exposition pour un scanner CT



< 0,4 sec/ rotation  
Organ in a sec (17 cm/sec)  
Whole body < 10 sec

20 to 50 mSv  
Radiographie standart  
0.1 mSv





# La chambre proportionnelle Radiographie digitale à faible dose

Prix Nobel de Physique 1992



Georges Charpak  
Physicien CERN





# Photon counting in CT



## Advantages of photon counting CT:

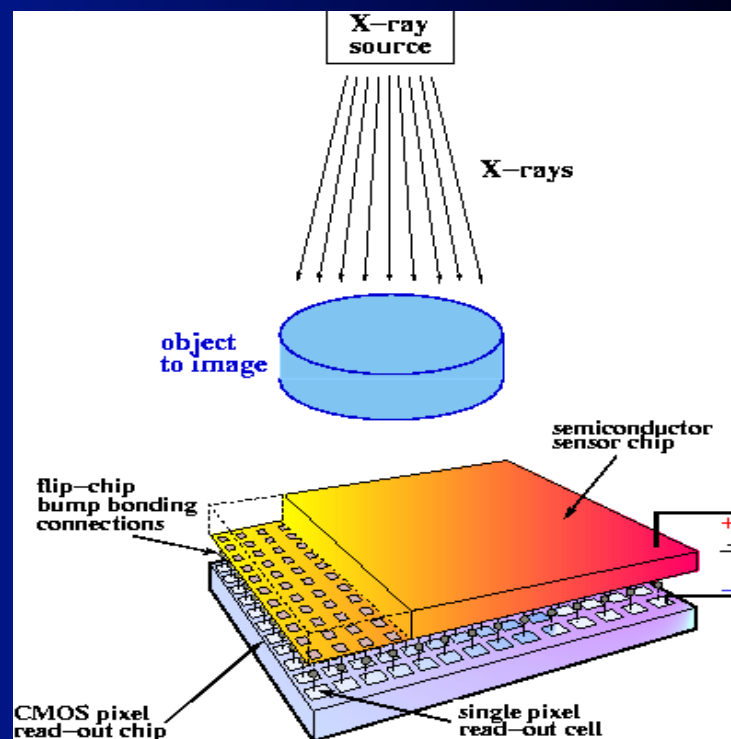
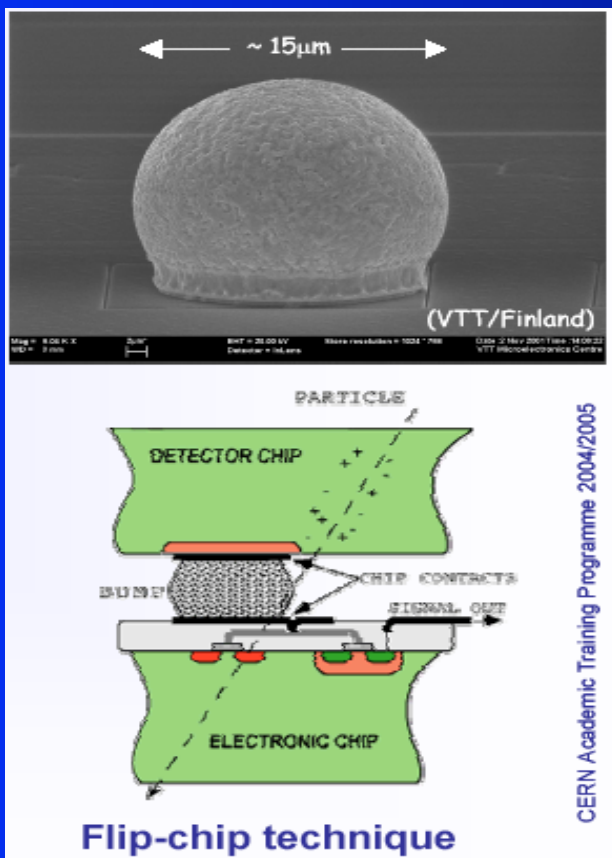
- Each event has equal weight independent of energy
  - ⇒ *Elimination of weight factor proportional to energy of integration imaging*
  - ⇒ *Closer to optimal weighting of  $E^{-3}$  \**
- Threshold detection allows discrimination of noise and scatter

## Requirements :

- Detector: high sensitivity to low-energy X-rays,  
high count rate capability
  - ⇒ count-rate  $> 10^6 - 10^7$  counts/s/pixel, *the higher the better*

\* R.N. Cahn et al., "Detective quantum efficiency dependence on X-ray energy weighting in mammography", *Med. Phys.* 26 (12), pp. 2680-2683,

# Détecteur hybride à pixels pour comptage de photons X

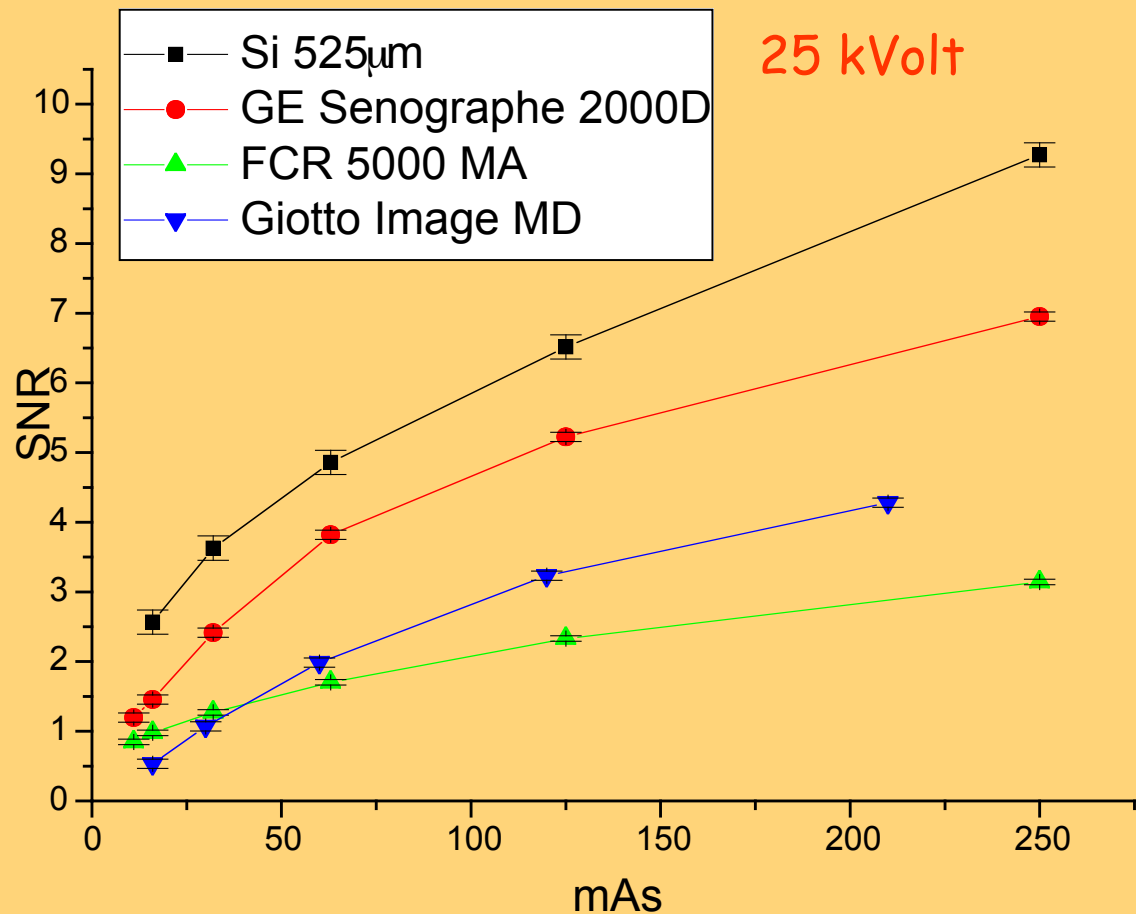


Détecteur pour les trajectographes du LHC

Détecteur Médipix pour les rayons X



# Single photon counting versus integrating digital radiography



• SNR for 2 mm thick tumor mass (RMI 156 phantom)

M. G. Bisogni et al.,  
NIMA 546, 14 (2005)